



Corso Luigi Einaudi, 55 - Torino

Appunti universitari

Tesi di laurea

Cartoleria e cancelleria

Stampa file e fotocopie

Print on demand

Rilegature

NUMERO: 1186

DATA: 22/10/2014

A P P U N T I

STUDENTE: Pitruzzella

MATERIA: Meccanica delle Macchine Automatiche + Eserc.

Prof. Quaglia

Il presente lavoro nasce dall'impegno dell'autore ed è distribuito in accordo con il Centro Appunti.

Tutti i diritti sono riservati. È vietata qualsiasi riproduzione, copia totale o parziale, dei contenuti inseriti nel presente volume, ivi inclusa la memorizzazione, rielaborazione, diffusione o distribuzione dei contenuti stessi mediante qualunque supporto magnetico o cartaceo, piattaforma tecnologica o rete telematica, senza previa autorizzazione scritta dell'autore.

**ATTENZIONE: QUESTI APPUNTI SONO FATTI DA STUDENTIE NON SONO STATI VISIONATI DAL DOCENTE.
IL NOME DEL PROFESSORE, SERVE SOLO PER IDENTIFICARE IL CORSO.**

1^o LEZIONE

COPPIE CINEMATICHE

- Si definisce meccanismo un insieme di corpi collegati in modo da poter trasmettere o comunque presentare un moto relativo, come sistema cinematico in cui un numero \bar{n} è fisso (detto telero), un sistema atto a trasmettere e trasformare il moto.
- Si definisce elemento cinematico una zona di corpo regolata in modo da consentire il collegamento ad un altro, consentendo un moto relativo.
- Si definisce coppia cinematica l'insieme di due corpi, collegati attraverso elementi cinematici, che definiscono il tipo di moto relativo. Possiamo utilizzare una classificazione delle coppie secondo Reuleaux in cui si hanno:

→ coppie cinematiche inferiori in cui il contatto è superficiale

- coppie prismatiche
- coppie cilindriche o coniche
- coppie elicoidali
- coppie a sfera
- coppie sferiche
- coppie piane.

→ coppie cinematiche superiori in cui il contatto è puntuale o lineare.

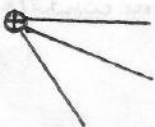
- a cerniera
- a ingranaggi
- a puleggia.

- I gradi di libertà di una coppia cinematica rappresentano il numero di parametri indipendenti atti a definire la posizione relativa tra i due corpi che la costituiscono. Ad esempio una coppia sferica presenta 3 gradi di libertà che ricorrono le tre rotazioni indicati con gli angoli di Eulero α, φ, β .

→ una coppia cinematica si dice chiusa se sempre gli stessi elementi cinematici si mantengono a contatto (es. cerniera)

→ una coppia cinematica si dice aperta se nel funzionamento si alterna il contatto tra diversi elementi cinematici (es. meccanismo a croce di molle).

- Si definisce moltiplicità di una coppia cinematica il numero di membri meno uno dei collegati.



Ad esempio la cerniera in figura collega tre membri, este ed ha quindi moltiplicità pari a due.

- Si definisce membro di un meccanismo un corpo che presenta almeno un elemento cinematico.

(2)

- L'analisi sintesi dinamica in cui corrispondentemente all'analisi e sintesi cinematica si analizzano le forze e le coppie sviluppate nel funzionamento del meccanismo. Possono essere tenuti in conto:
 - attriti ~ che danno problemi di dissipazione di energia
 - rigidità ~ che danno problemi di vibrazioni.

□

FORMULA DI GRÜBLER

La configurazione assunta da un sistema può essere definita grazie a delle coordinate del sistema. Ad esempio la posizione di un corpo rigido nel piano può essere definita conoscendo la posizione di un qualsiasi punto (x_p, y_p) rispetto ad un sistema di riferimento ortogonale x, y e l'orientazione di una qualsiasi retta solidale ad esso rispetto ad una direzione di riferimento (angolo α)

E' definito grado di libertà di un sistema il numero di coordinate indipendenti necessarie per specificare la configurazione del sistema.

Per definire il numero di gradi di libertà per un meccanismo piano con telero compreso possiamo utilizzare la formula di Grübler.

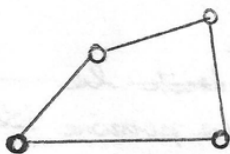
$$F = 3(l-1) - \sum_{i=1}^3 (3-f_i) \quad \text{MECCANISMO PIANO}$$

dove:

- $F \Rightarrow$ numero di gradi di libertà
- $l \Rightarrow$ numero di membri del meccanismo (telero compreso)
- $\sum \Rightarrow$ numero di coppie cinematiche
- $f_i \Rightarrow$ gradi di libertà delle coppie i -esime.

ESEMPIO

Consideriamo un quadrilatero articolato:



Il numero di membri del meccanismo è pari a:

$$l = 4$$

Il numero di coppie cinematiche è pari a:

$$\sum = 4$$

mentre $f_i = 1 \Rightarrow$ in tutte le coppie ed hanno solo la rotazione.

quindi

$$F = 3(4-1) - \sum_{i=1}^4 (3-1) = 3(4-1) - 4(3-1) = 9 - 8 = 1$$

□

CLASSIFICAZIONE DEI MECCANISMI

Vi sono molte possibili classificazioni dei meccanismi, ad esempio attraverso il tipo di contatto, il tipo d'impiego, il tipo di coppie cinematiche.

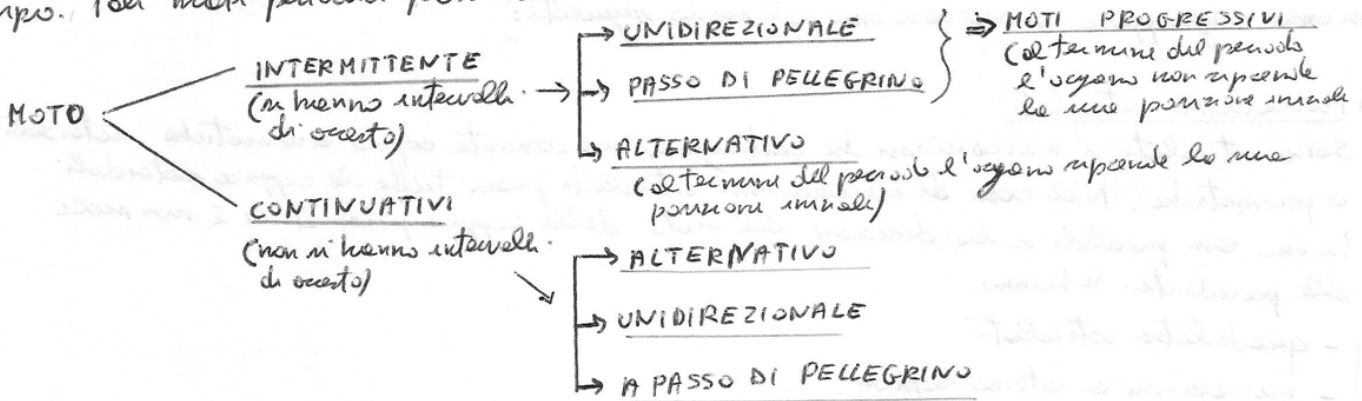
Ad esempio una classificazione proposta da Reuleaux nel 1875 è la seguente:

1. Meccanismi a vite
2. Meccanismi a manovella.
3. Meccanismi ad ingranaggi
4. Meccanismi a cinghia
5. Meccanismi a pulegge
6. Attrivamento.

E' facile per rendersi conto che i meccanismi reali possono rientrare in più categorie, oppure non appartengono in modo esatto ad una delle precedenti class.

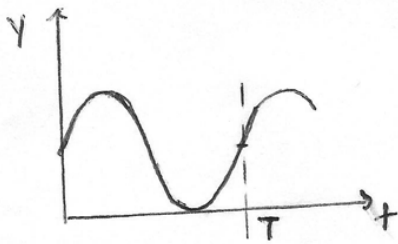
I meccanismi, considerati come sistemi atti a trasformare un dato movimento in un altro, possono in primo luogo classificarsi secondo la natura dei movimenti stessi.

Nelle macchine automatiche, oltre al moto uniforme, in generale intercorrono varie moti periodici cioè moti che si ripetono identicamente ad intervalli regolari nel tempo. Tali moti periodici possono essere distinti in:

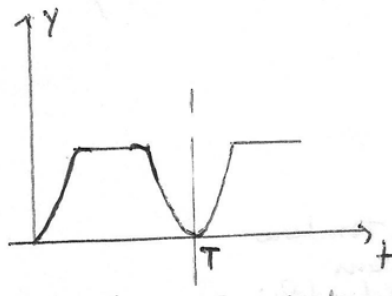


Si vede che i moti progressivi possono essere suddivisi in moti unidirezionali e in moti a passo di pellegrino e richiede che la velocità angolare mantenga o meno sempre lo stesso verso.

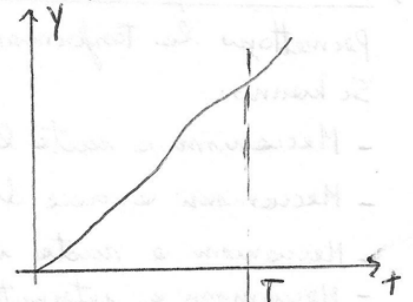
Quando per questo riguarda i tipi di moto realizzabili con il cedente, considerando il caso in cui tale moto sia descritto da un'unica coordinata y , i casi possibili sono tre.



Alternato continuativo



Alternato Intermittente



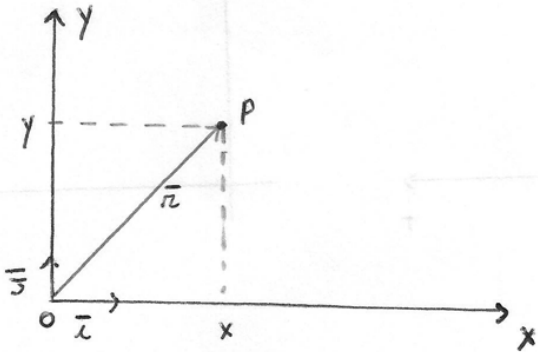
Continuativo unidirezionale

2^a LEZIONE

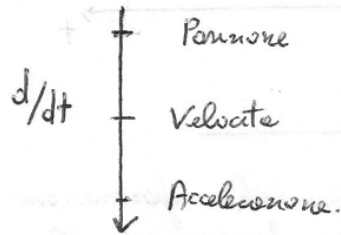
ELEMENTI DI CINEMATICA

CINEMATICA DEL PUNTO

Per definire la posizione di un punto P bisogna definire necessariamente un sistema di riferimento "contenuto". La scelta del sistema di riferimento è necessaria per poter definire la posizione, la velocità e l'accelerazione di qualunque punto nello spazio.



Per poter passare dalla posizione alla velocità del punto P e alla sua accelerazione si usa l'operatore di derivata d/dt



Il punto P è definito dalle coordinate x ed y. Sul piano contenente è possibile quindi definire un vettore \vec{r} :

$$\vec{r} = x\vec{i} + y\vec{j}$$

che mi dà la posizione del punto P rispetto all'origine O del sistema di riferimento scelto. I vettori \vec{i} e \vec{j} sono vettori unitari che definiscono l'orientamento degli assi x ed y. La velocità del punto si trova utilizzando l'operatore di derivata:

$$\vec{v}_p = \dot{x}\vec{i} + \dot{y}\vec{j} = v_x\vec{i} + v_y\vec{j}$$

dove v_x e v_y sono le componenti scalari del vettore \vec{v}_p lungo gli assi x ed y del sistema di riferimento scelto.

Solo adesso ha senso dire che $v_x = 3 \text{ m/s}$ per cui questa grandezza fisica ha un valore numerico e un'unità di misura ed il senso viene stabilito avendo definito il sistema di riferimento e quindi posso immaginare che il punto P si sta muovendo lungo la componente x da destra a sinistra.

Desidero ulteriormente ottenere l'accelerazione assoluta del punto P:

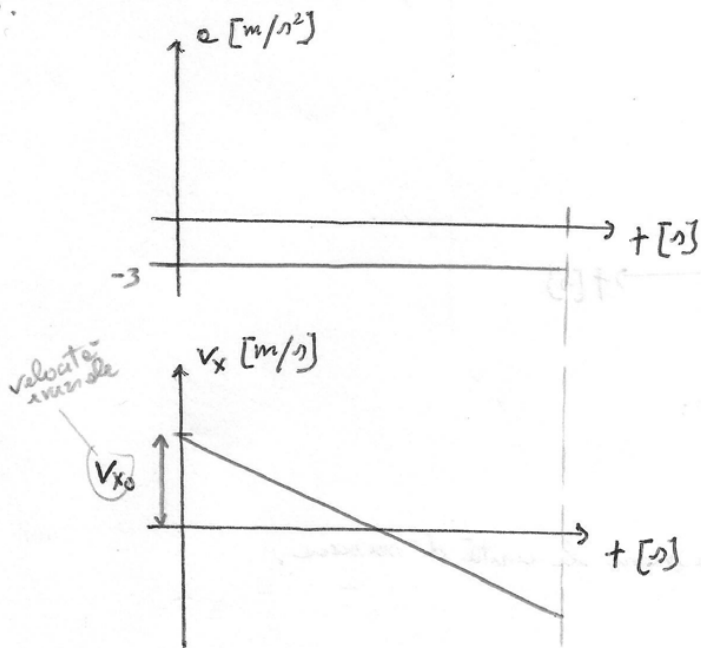
$$\vec{a}_p = \ddot{x}\vec{i} + \ddot{y}\vec{j} = a_x\vec{i} + a_y\vec{j}$$

dove a_x è la componente di accelerazione lungo x e a_y è la componente di accelerazione lungo y.

□

$$\{v_x\} = -3\{t\} + 2$$

osserviamo da la scrittura $v_x = -3t + 2$ è vero solo se 3 è espresso in $[m/s]$ ed il tempo è dato in secondi $[s]$; questa è la ragione per cui quando si pone alla rappresentazione grafica è necessario esprimere le unità di misura degli assi. Possiamo quindi tracciare i diagrammi di accelerazione e velocità rispetto al tempo.



Si vede che se l'accelerazione è costante la velocità è lineare.

Con un processo analogo delle velocità attraverso un processo d'integrazione ricaviamo la posizione.

$$v_x = \frac{dx}{dt}$$

da cui:

$$\int_{x_0}^x dx = \int_0^t v_x dt = \int_0^t (a_x t + v_{x0}) dt = a_x \frac{t^2}{2} + v_{x0} t$$

$v_x \Rightarrow$ trovato prima.

quindi:

$$x - x_0 = a_x \frac{t^2}{2} + v_{x0} t$$

il calcolo di tale integrale può essere svolto con leggi di accelerazioni comunque complicate risolvibili anche con metodi di calcolo numerico.

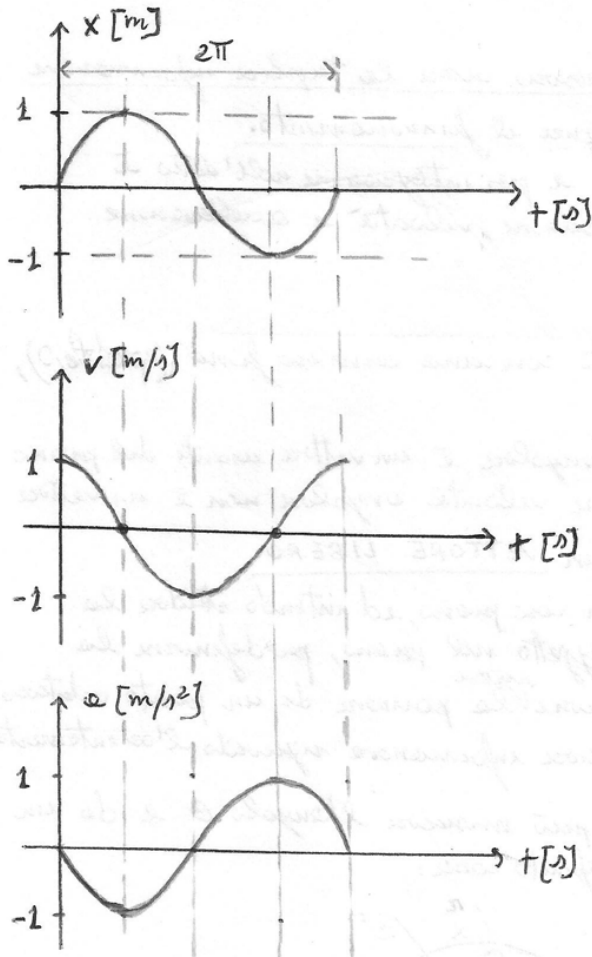
Possiamo quindi tracciare i diagrammi di velocità e spostamento rispetto al tempo.

dove:

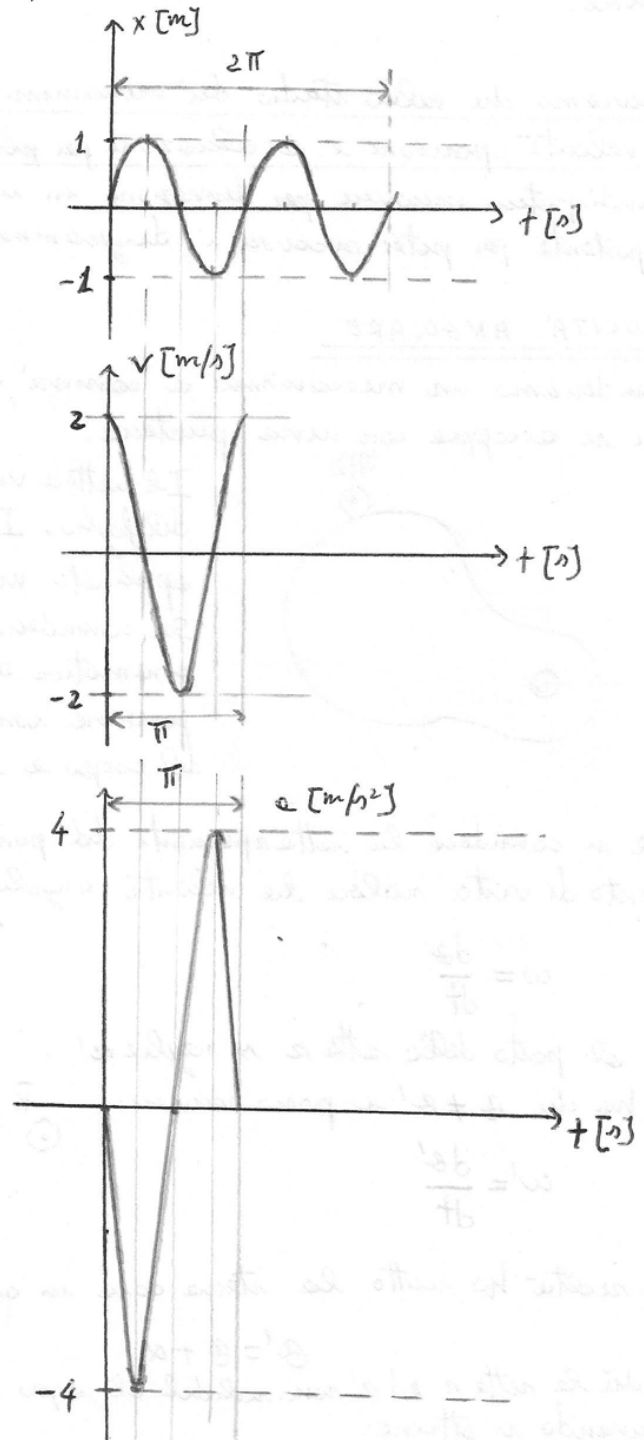
$$\ddot{x}(t) = -\omega^2 \sin(\omega t)$$

Potremo quindi disegnare le posizioni, le velocità e l'accelerazione in funzione del tempo per le due diverse pulsioni.

$\omega = \omega_1 = 1 \text{ rad/s}$



$\omega = \omega_2 = 2 \text{ rad/s}$



Osserviamo da ciò che concerne il diagramma dello spostamento x , aumentando la pulsione a 2 rad/s l'ampiezza delle oscillazioni rimane sempre tra gli stessi estremi $[-1, 1]$ del caso con $\omega = 1 \text{ rad/s}$ ma raddoppia la frequenza di movimento del sistema.

Per ciò che concerne le velocità ponendo nel caso di $\omega = 1 \text{ rad/s}$ e $\omega = 2 \text{ rad/s}$, noi raddoppiamo la pulsione ma un raddoppio delle frequenze ma anche dell'ampiezza delle oscillazioni (ossia la linearità delle velocità massima).

Nel diagramma delle accelerazioni aumentando la pulsione, nel nostro caso raddoppiandola, ma che due in quadruplica l'ampiezza delle oscillazioni.

In tutti i meccanismi in cui la trasmissione del moto viene fatta con un motore, raddoppia la velocità del motore vuol dire raddoppiare la frequenza di movimento a tempo.

Il concetto di velocità angolare ω dice come un oggetto lo propria rotazione nello spazio. le grandezze definite sono quantità scalari, cioè abbiamo definito il modulo della velocità angolare.

Il vettore della velocità angolare $\vec{\omega}$ è dato da:

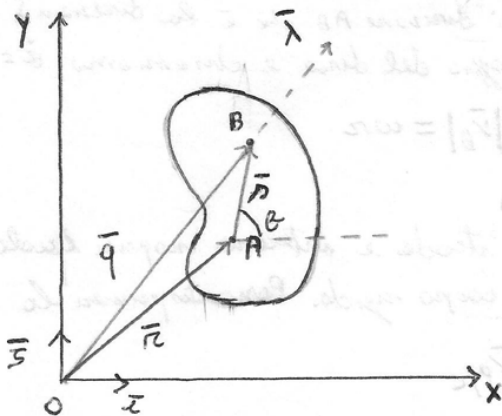
$$\vec{\omega} = \omega \vec{k}$$

dove \vec{k} è il vettore uscente dal fulcro (o dal piano).

Quindi la velocità angolare è un vettore libero ma abbiamo bisogno di convenire la posizione di un punto fisso P

CINEMATICA DEI CORPI RIGIDI

Nel campo delle macchine automatiche tutti i meccanismi sono studiati ottocento la cinematica dei corpi rigidi viene quindi trascurata che abbiamo una deformabilità elastica.



Prendi due punti A e B qualunque di questo corpo, la cinematica dei corpi rigidi mette in relazione le velocità e le accelerazioni dei due punti.

Si sceglie quindi un sistema di riferimento fisso. Si vanno ad indicare le posizioni dei punti A e B relativi all'origine del sistema di riferimento fisso:

- vettore \vec{q} definisce il punto B
- vettore \vec{r} definisce il punto A

si può quindi costruire una relazione che mette in relazione le posizioni A e B: la posizione assoluta del punto B è pari alla posizione assoluta del punto A più un vettore \vec{s} che rappresenta la posizione relativa di B rispetto ad A

$$\vec{q} = \vec{r} + \vec{s}$$

(devenendo è possibile mantenere il teorema di Rivals).

Il vettore \vec{s} può essere definito come:

$$\vec{s} = r \vec{\lambda} = \vec{AB}$$

dove $\vec{\lambda}$ è un vettore mobile che si muove insieme al corpo rigido; r è una distanza tra A e B.

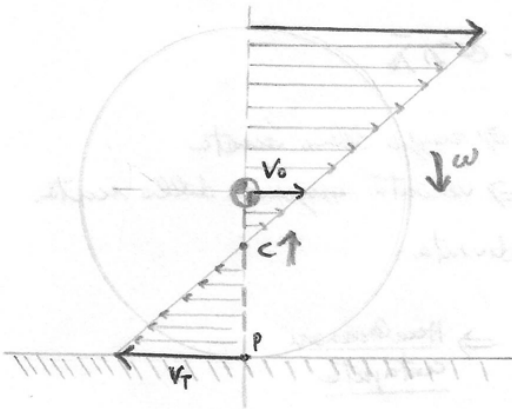
Devenendo, per definizione:

$$\frac{d\vec{q}}{dt} = \vec{v}_B \Rightarrow \text{velocità del punto B}$$

$$\frac{d\vec{r}}{dt} = \vec{v}_A \Rightarrow \text{velocità del punto A}$$

Consideriamo la distribuzione delle velocità quando vi è uno slittamento. (8)

Mettemoci nella condizione in cui il veicolo ha un secondo dopo lo partenza.

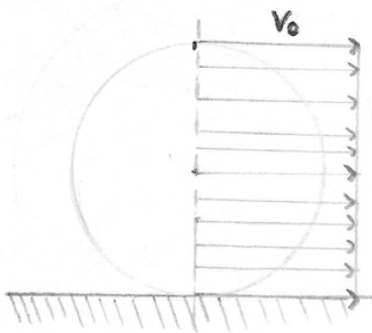


Il veicolo scivola e la velocità del mozzo delle ruote v_0 è orizzontale.

Il punto periferico della ruota P presenta una velocità tangenziale che v_T da destra verso sinistra e che indichiamo con v_T .

Avremo un profilo triangolare delle velocità. Il centro d'istante di rotazione C, nell'istante considerato, si trova all'interno della superficie del corpo libero. Il centro d'istante di rotazione si sposta verso il centro delle ruote.

Consideriamo la combinazione particolare in cui il veicolo oltre a scivolare si avvia e che blocchiamo la ruota. La rotazione diventa nulla e tutti i punti della gomma presentano un movimento traslatorio. Il diagramma triangolare delle velocità ha una condizione particolare in cui il centro d'istante di rotazione va all'infinito. \Rightarrow si ha un movimento di pure traslazione.



□ Troviamo le accelerazioni derivando ulteriormente l'espressione:

$$\vec{v}_B = \vec{v}_A + \omega \dot{\lambda} \vec{\lambda}$$

osserviamo che λ è un valore fisso in quanto il corpo è rigido. Quindi: anche:

$$\vec{a}_B = \vec{a}_A + \omega \ddot{\lambda} \vec{\lambda} + \omega \dot{\lambda} \dot{\lambda} \vec{\lambda} =$$

$$= \vec{a}_A + \omega \ddot{\lambda} \vec{\lambda} + \omega^2 \dot{\lambda}^2 \vec{\lambda} =$$

$$= \vec{a}_A + \underbrace{\omega \ddot{\lambda} \vec{\lambda}}_{\vec{a}_{B/AT}} - \underbrace{\omega^2 \dot{\lambda}^2 \vec{\lambda}}_{\vec{a}_{B/AN}} = \vec{a}_A + \vec{a}_{B/AT} + \vec{a}_{B/AN}$$

→ vettore diretto da B verso ad A è $\vec{a}_{B/AN}$ (accelerazione di B rispetto ad A normale)

→ vettore diretto ortogonalmente rispetto a $\vec{\lambda}$ viene detto

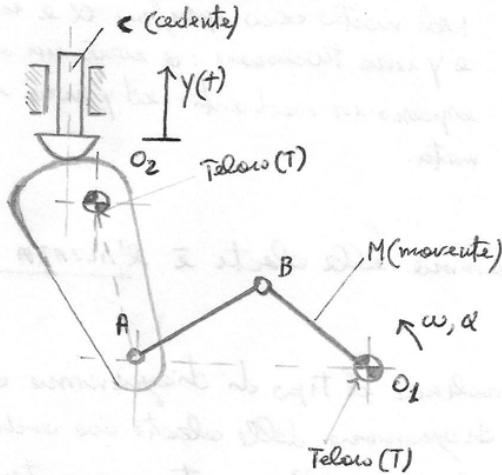
$\vec{a}_{B/AT}$ (accelerazione di B rispetto ad A tangenziale)

3° LEZIONE

LA PROGETTAZIONE DEL MOTO

DIAGRAMMA DELLE ALZATE

Consideriamo un generico meccanismo per la trasformazione del moto uniforme in periodico: in esso sono presenti n tre membri fondamentali e cioè il movente M che ruota a velocità costante ω , il cedente C che si muove con legge $y(t)$ richiesta, ed il telero, che funge da organo di reazione che tiene insieme l'intero meccanismo.



In molti casi non sufficienti questi tre membri per risolvere il meccanismo, in altri casi tre movente e cedente vi è una rete di membri intermedi.

Consideriamo n membri della catena cinematica rigidi.

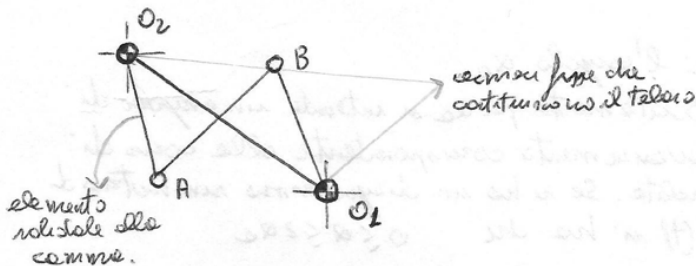
L'insieme dei membri e reciproci contatti costituenti il meccanismo prende il nome di CATENA CINEMATICA

Due membri contigui della catena costituiscono una COPPIA CINEMATICA:

- si hanno coppie inferiori quando il contatto è mantenuto tramite superficie.
- si hanno coppie superiori quando il contatto è limitato solo da punti e linee.

La catena cinematica rappresentata, considerando il rotolamento sui membri O_2B , BA e AO_2 , presenta delle analogie in termini cinematici con un quadrilatero articolato, cioè.

L'insieme dei membri O_2B , BA e AO_2 può essere sostituito da un quadrilatero articolato.



Nel nostro esempio il movente ha un movimento rotatorio mentre il cedente è animato da un moto traslatorio.

Poniamo indicata con T il periodo del movimento

La velocità angolare del movente vale:

$$\omega = \frac{2\pi}{T}$$

⇒ in quanto di solito il periodo T corrisponde a una rotazione completa del movente.

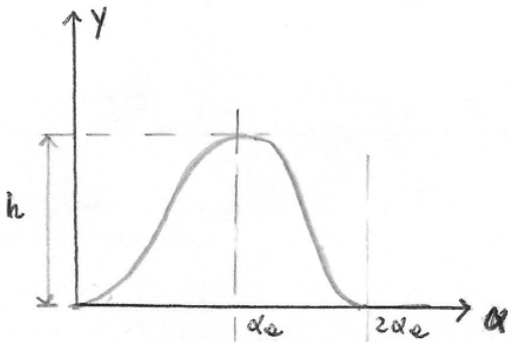
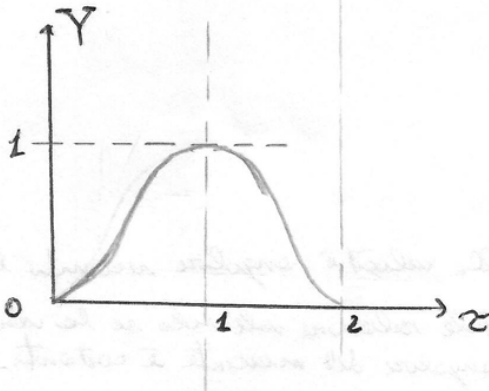
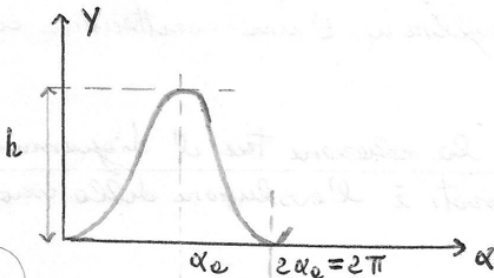


DIAGRAMMA DELLE ALZATE
 È un diagramma specifico e vale per uno
 ⇒ specifico meccanismo



⇒ DIAGRAMMA DI FORMA DELLE ALZATE
 Permettono di riassumere da uno specifico
 meccanismo e di poter fare delle considerazioni
 di qualità generale.
 Ciascuna curva del diagramma di forma permette di
 effettuare un'analisi dei vari angoli del corso
 particolare e delle dimensioni del meccanismo.
 (ciò vale per meccanismi snelli, pesanti e
 piccoli)

Spesso i meccanismi generano una legge del moto periodica.
 È abbastanza comune il caso in cui, essendo il momento rotante, l'angolo che corrisponde ad
 un ciclo della legge del moto vale 2π



Occorre sempre che per decisione di linguaggio è sempre necessario identificare il sistema di
 riferimento usato e le simbologie utilizzate.

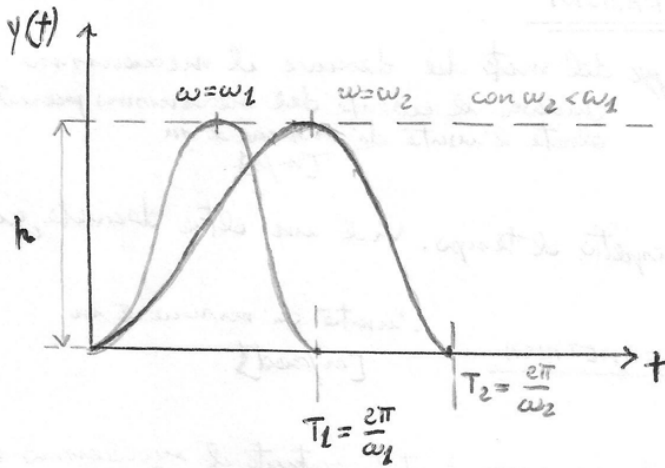
Abbiamo che la velocità angolare è data dalle derivate dell'angolo in funzione α della
 estensione cinematica:

$$\omega = \frac{d\alpha}{dt}$$

Si ipotizza che la velocità angolare sia dell'incasso costante:

$$\omega = \text{costante} \quad \left(\begin{array}{l} \text{case le variazioni possono essere ritenute} \\ \text{trascurabili} \end{array} \right)$$

questo è vero in quanto quando si progetta un meccanismo si fa riferimento a motori
 elettrici che tendono al monte hanno velocità di rotazione che sono dell'incasso costante
 indipendentemente dal tempo, da tale considerazione si possono poi ricavare delle leggi del

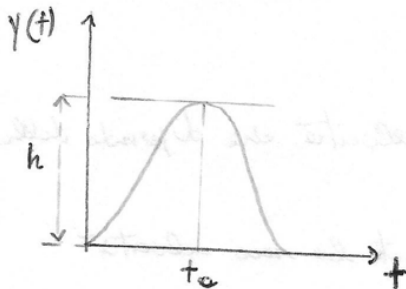


Riprendendo il concetto di diagramma adimensionale e la sua forma, quest'ultima è invariabile alle velocità angolari perché rappresenta la forma adimensionale del diagramma delle elate.

Riprendendo la definizione delle variabili τ e t_0 :

$$\tau = \frac{t}{t_0}$$

dove t_0 è il tempo di avanzamento o il tempo che serve per raggiungere l'elate.



Possiamo evidenziare che in qualche modo il tempo adimensionale può essere inteso come angolo adimensionale.

$$\tau = \frac{t}{t_0} = \frac{\alpha}{\frac{\omega}{\omega_0}} = \frac{\alpha}{\omega_0} \quad \text{angolo per raggiungere l'elate normale.}$$

Così nell'ipotesi che $\omega = \text{costante}$ esiste un legame tra tempi ed angoli.

Usando:

$\tau = \frac{t}{t_0}$ } si ricorre del diagramma delle elate o del diagramma del moto $y(t)$ al diagramma di forma che è un diagramma adimensionale che racchiude le proprietà generali del meccanismo.

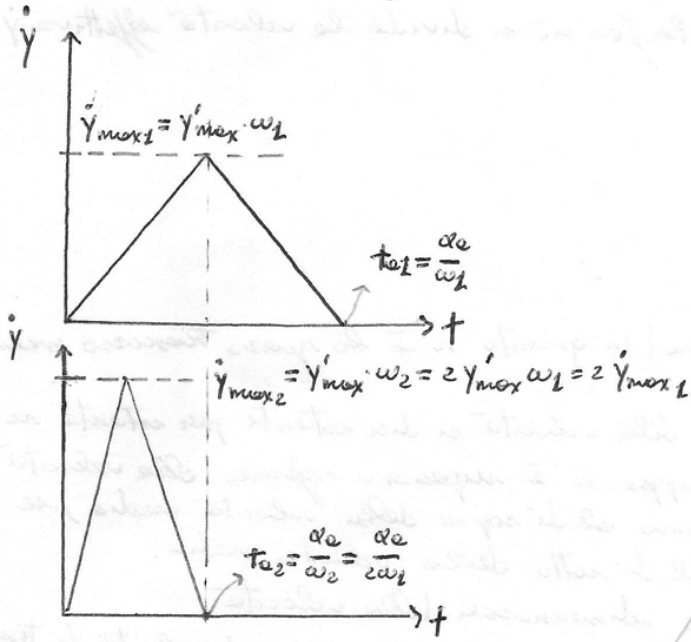
$\gamma = \frac{y}{h}$ }

Una volta che si sono fatte delle considerazioni sul diagramma di forma, quando mi autoselezione su uno specifico meccanismo con una elate h , per passare dal diagramma di forma a quello delle elate si sceglie h ed ω ottenendo quindi il diagramma nel tempo, specifico per il meccanismo.

Vediamo ciò che succede se si varia la velocità angolare.

(12)

Consideriamo una velocità angolare ω_1 ed una velocità angolare $\omega_2 = 2\omega_1$

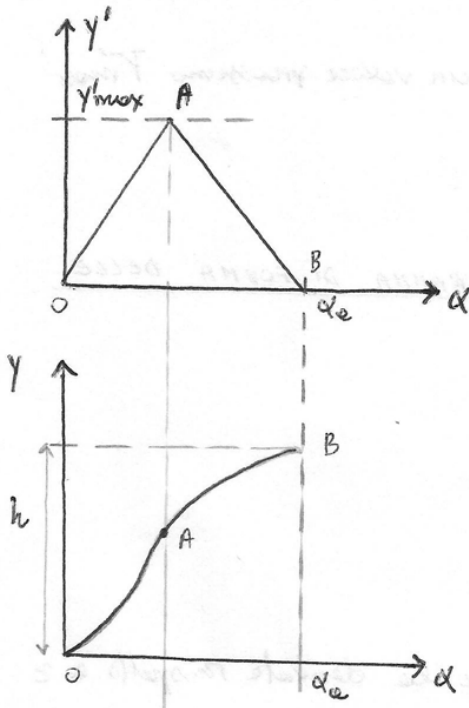


In questo caso si ottiene un dimezzamento del tempo di movimento raddoppiando la velocità angolare. Se consideriamo le leggi del moto, varia la velocità angolare nel diagramma delle scate vuol dire solo varare l'axe tempo. Se consideriamo le scate in unite, varia la velocità angolare non solo produce un fattore di scala nell'axe tempo ma anche un' amplificazione delle velocità maxime raggiunte.

Vi è quindi un effetto lineare tra la velocità angolare in ingranzi e la velocità ottenuta in unite del meccanismo stesso.

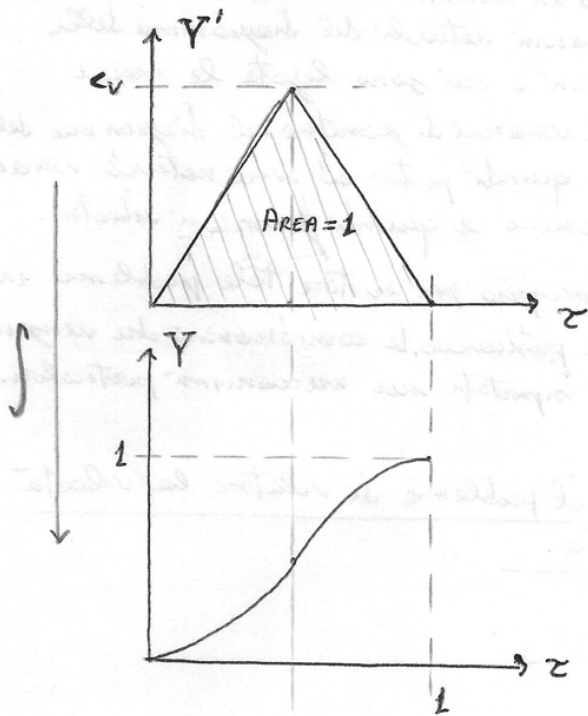
Consideriamo che alcune volte con α_e si intende l'angolo per raggiungere l'elate maxime, altre volte con α_e si intende l'angolo necessario per effettuare tutto il ciclo di movimento. (In questo caso stesso usando α_e come angolo per raggiungere l'elate maxime).

• Ricorriamo dal diagramma delle velocità geometrico al diagramma delle scate corrispondente.



Avendo la velocità si muove per integrazione al fine di determinare lo spostamento. Le legge delle scate partira con derivata nulla e poi la derivata cresce fino a raggiungere il suo valore massimo \dot{y}_{max} , quindi nel diagramma delle scate il tratto OA ha pendenza crescente. Poi la derivata nel tratto AB scende e raggiunge nuovamente tangente orizzontale in B e quindi il diagramma delle scate nel tratto AB decendente è a pendenza decrescente.

Possiamo quindi passare dal diagramma adimensionale delle velocità Y' al diagramma di forme delle eliche Y attraverso un processo d'integrazione

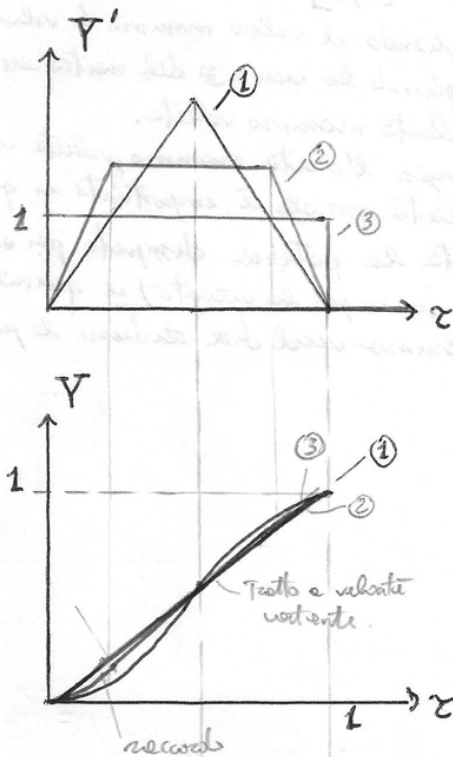


Una proprietà del diagramma di forme delle eliche è che lo stesso curva ed un'elica adimensionale unitaria $z=1$ che l'area del diagramma di forme delle eliche è unitaria.

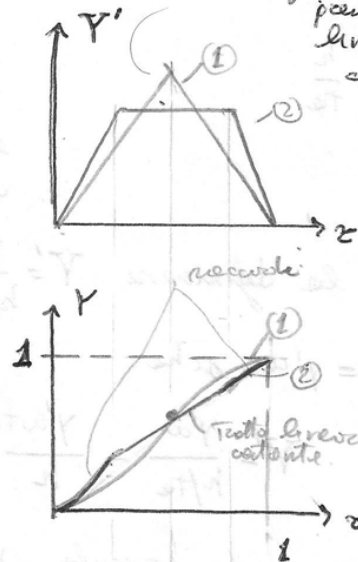
Area = 1

Quindi potremmo progettare un meccanismo delle forme più varie del diagramma delle velocità adimensionale (ad esempio 1, 2, 3) ma tutti avranno area unitaria. Osserveremo che la (3) è quella che presenta il coefficiente di velocità C_v più piccolo possibile (per $z=1$ unita).

Quindi se voglio ricavare ad una elica unitaria posso scegliere infinite forme ma deve essere rispettato il vincolo di area del diagramma delle velocità adimensionale pari ad 1.



Osserveremo che la forma (2) presenta un tetto lineare e velocità costante.



Le forme 1, 2, 3 dei diagrammi vinti evidenziano che diagrammi molto diversi in termini di velocità si traducono in diagrammi di leggi delle eliche più o meno simili.

Se consideriamo, a titolo d'esempio, un meccanismo a cinghia tralente, la forma della cinghia rappresenta la forma del diagramma delle eliche.

Consideriamo le accelerazioni.

L'accelerazione risulta essere la derivata seconda delle leggi del moto.

$$\ddot{y} = \frac{d^2 y}{dt^2}$$

Vediamo la relazione che esiste tra accelerazione effettiva e accelerazione geometrica.

$$\frac{d^2 y}{dt^2} = \frac{d}{dt} (\dot{y}) = \frac{d}{dt} (y' \omega) = \frac{dy'}{d\alpha} \frac{d\alpha}{dt} \omega + y' \dot{\omega}$$

dove:

$$\frac{dy'}{d\alpha} = y'' \Rightarrow \text{accelerazione geometrica.}$$

$$\omega = \frac{d\alpha}{dt} \Rightarrow \text{velocità angolare del momento.}$$

$$\dot{\omega} \Rightarrow \text{accelerazione angolare in ingresso del meccanismo.}$$

Essendo in generale $\omega = \text{costante}$ e $\dot{\omega} = 0$, quindi:

$$\frac{d^2 y}{dt^2} = y'' \omega^2$$

che possiamo scrivere:

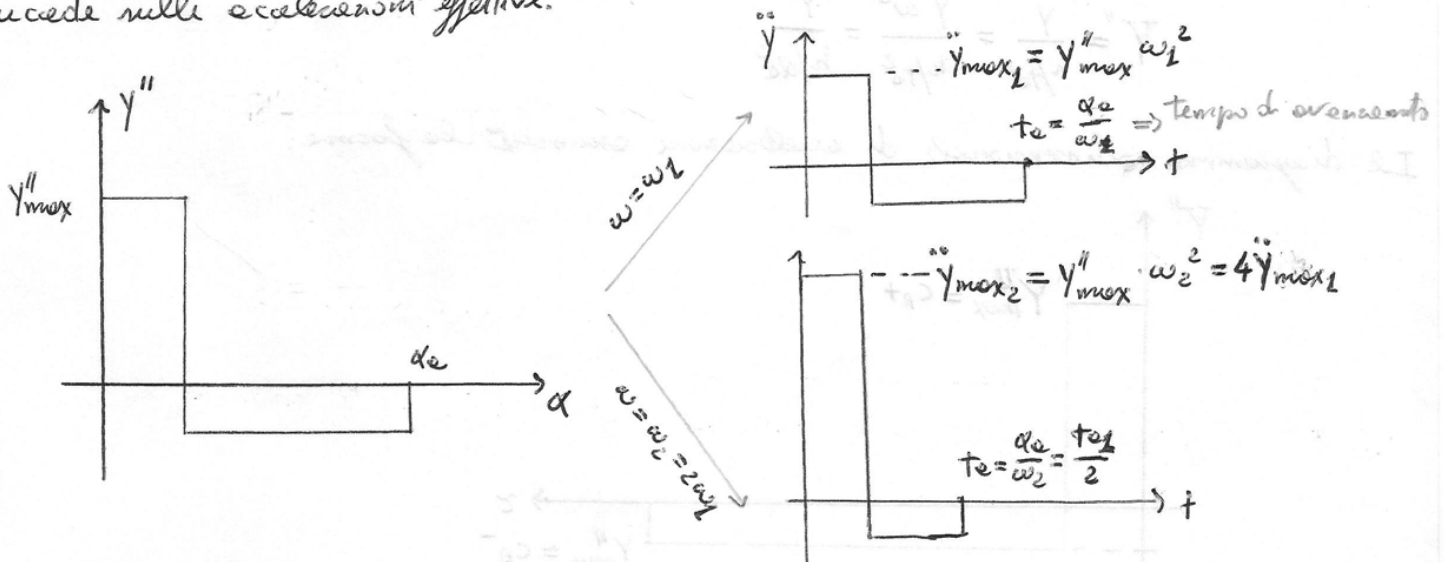
$$\ddot{y} = y'' \omega^2$$

→ vale quindi un lemma probabilico.
A parità di meccanismo raddoppiare la velocità di funzionamento vuol dire quadruplicare le accelerazioni.

Questo aspetto è particolarmente importante nelle sollecitazioni meccaniche nei meccanismi.

Per i meccanismi veloci (periodo T breve) con ω molto grandi e α_e un po' piccolo quadrato di quest'ultima nelle accelerazioni.

consideriamo il seguente esempio: con $\omega = \omega_1$ ed $\omega_2 = 2\omega_1$ e vediamo come succede nelle accelerazioni effettive.



Sono importanti in tale diagramma:

- il valore massimo di accelerazione che è indicato con C_A^+
 $C_A^+ \Rightarrow$ coefficiente di accelerazione positivo.
- il valore minimo di accelerazione che è indicato con C_A^-
 $C_A^- \Rightarrow$ coefficiente di accelerazione negativo

Nel caso in esempio abbiamo una situazione non simmetrica $C_A^+ \neq C_A^-$
 Si può avere una situazione simmetrica dove $C_A^+ = C_A^-$

Dalle relazioni viste delle forme dimensionali del diagramma delle accelerazioni (quindi da due valori C_A^+ e C_A^-) si calcola l'accelerazione massima effettiva del cedente.

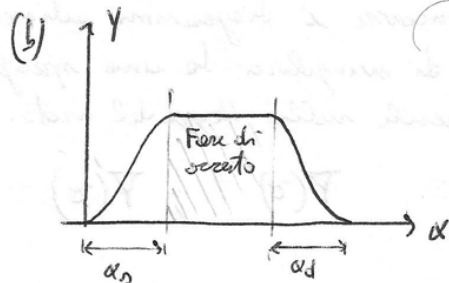
La progettazione del meccanismo ha spesso come parametri o specifici principi di progetto l'altezza ed il tempo di avvenimento t_e . Quando si progetta una macchina sismotattica la cosa principale è sapere di quanto si deve spostare il cedente e in che tempo farlo. Tutto il resto è obbedienza fisica.

Il progettista conosce h/t_e^2 ed è libero di scegliere la legge del moto, cioè di scegliere i diagrammi di accelerazione, velocità e spostamenti dimensionali più opportuni e quindi di rispondere sui coefficienti di accelerazione e velocità nell'ambito di alcuni vincoli. Dalle forme dimensionali calza il progetto specifico considerando l'altezza ed il tempo di avvenimento.

NOTA

Il diagramma delle altezze è la rappresentazione delle variabili indipendenti α e dipendente γ : $\gamma(\alpha)$, dove α_e è l'angolo di avvenimento.

A seconda del meccanismo avremo un diagramma delle altezze che può presentare un tratto con angolo di avvenimento α_e , una fase di arresto e se il moto è periodico un secondo tratto con angolo di avvenimento α_e



Si può avere anche un diagramma delle altezze che presenta un tratto in salita con angolo di avvenimento α_n , una fase di arresto ed una fase di discesa con α_d . Non è detto che $\alpha_n = \alpha_d$.

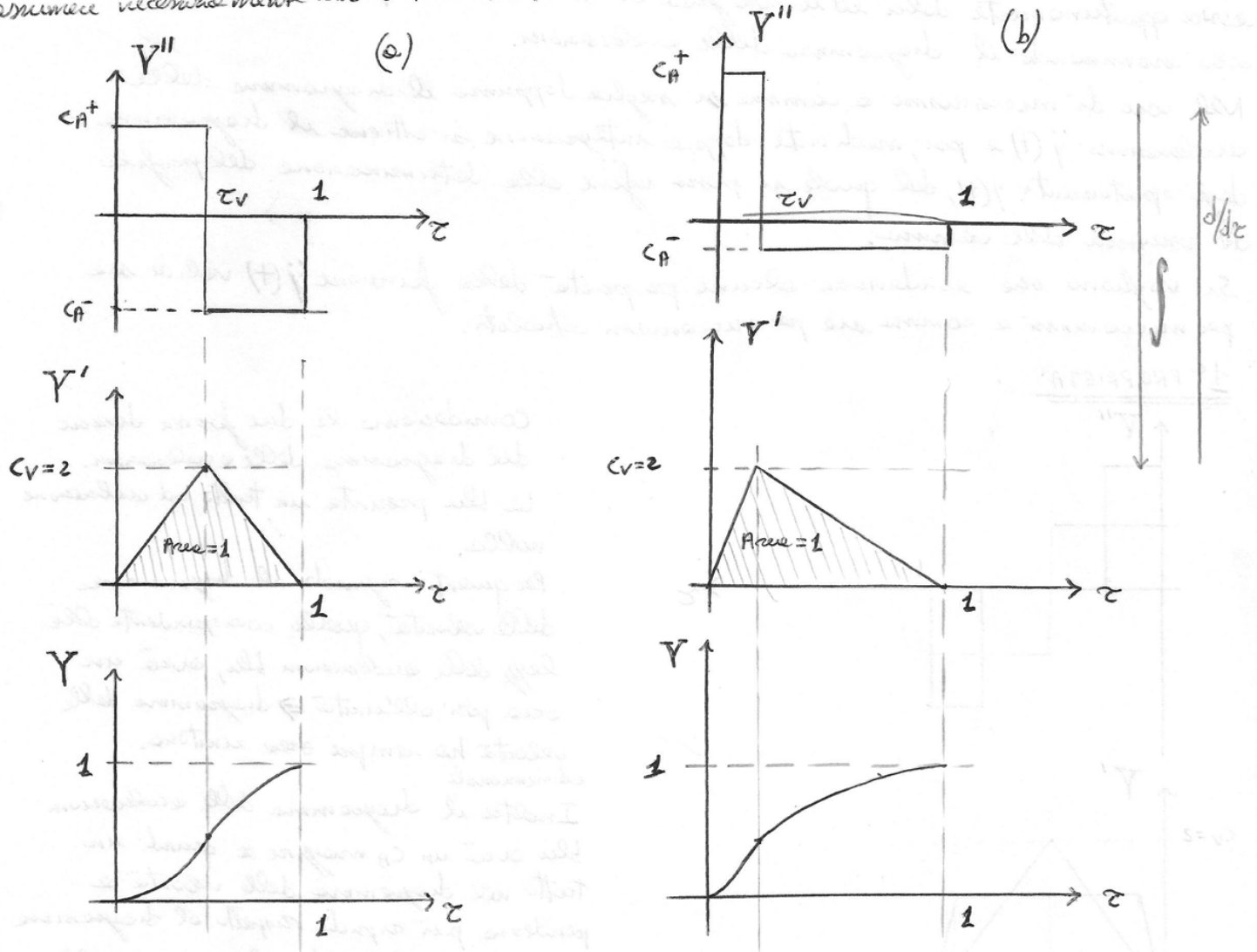
Nella progettazione del meccanismo si fa riferimento alle fasi in cui la legge di uscite γ cambia: a volte quindi uno studio per la fase di salita ed uno studio per la fase di discesa.

ESERCIZIO

Dati i due diagrammi bidimensionali di accelerazione (a) e (b) relativi rispettivamente ai diagrammi unidimensionali di velocità e spostamento.

Il diagramma (a) è simmetrico, ed al punto τ_v in cui l'accelerazione è zero corrisponde la velocità massima.

Vedremo che nelle forme del diagramma (b) non ha un valore e così me deve assumere necessariamente un dato valore.



Se si ha un andamento dell'accelerazione costante si avrà un andamento delle velocità lineare. L'area del diagramma delle velocità deve essere 1 e quindi se il diagramma di velocità è triangolare, la velocità massima $c_v = 2$.

Il diagramma (a) sarà simmetrico, mentre (b) non è più simmetrico ma comunque si può fare la stessa considerazione sull'area del diagramma di velocità che deve essere pari ad 1. Quindi i diagrammi di forma molto diversi si traducono in coefficienti di velocità uguali. Le scelte dell'asimmetria del diagramma di forme delle accelerazioni non ha nessuna implicazione sulle velocità massime.

Osserviamo che il diagramma (b) presenta una c_A^+ più elevata ma si ha anche un c_A^- più piccolo e limitare quest'ultima permettono di limitare il distacco come-puntecce.

□

Quindi: se le specifiche di progetto sono del tipo *accoppiamento* una determinata elica con determinati tempi; delle virenomi anche piccole dello forme delle curve (forchi rifrattivo e meccanici con curva) il cui profilo rappresenta la legge del moto, si possono tradurre in virenomi notevoli del diagramma delle accelerazioni con valori diversi dell'accelerazione massima C_A .

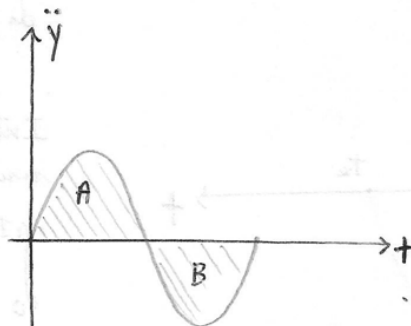
Ecco perché conviene sempre partire nell'ambito della progettazione dai diagrammi ordinamentali delle accelerazioni e poi andare a risalire alle geometrie del pezzo. Geometrie molto varie (leggi armoniche del moto) hanno in realtà diagrammi di accelerazioni diverse.

Tale disegno si rappresenta sull'ascissa del componente: un'elica di taglio in una curva vuol dire che in quel punto c'è una discontinuità nel diagramma delle accelerazioni e ciò si evidenzia facendo funzionare il meccanismo ad alte velocità.

2° PROPRIETA'

Si consideri un tratto di movimento con elica h e tempo di movimento t_e ; dovendo essere nulle le velocità all'inizio ($t=0$) ed alla fine del tratto ($t=t_e$); considerando il diagramma delle accelerazioni \ddot{y} si ha:

$$\int_0^{t_e} \ddot{y} dt = \dot{y}(t_e) - \dot{y}(0) = 0$$



Se il diagramma di \ddot{y} ha un andamento con parti negative e parti positive, qualunque ne sia la forma, l'area sotto la parte positive A deve essere uguale all'area negative B .

Area A = Area B

Possiamo quindi scegliere qualunque forma del diagramma delle accelerazioni, ma deve essere soddisfolto il vincolo suddetto.

Trasformiamo l'integrale nella forma adimensionale.

Essendo $\tau = \frac{t}{t_e} = \frac{x}{\alpha_e}$ ed avendo $dt = t_e dz$ si ha:

$$\int_0^1 \underbrace{\frac{h}{t_e^2}}_{\ddot{y}} \underbrace{t_e}_{dt} dz = \frac{h}{t_e} \int_0^1 Y'' dz = \frac{h}{t_e} (Y'(1) - Y'(0)) = 0$$

$\frac{h}{t_e} Y'(1) = \dot{y}(t_e) = 0$

Ciò vuol dire che il diagramma adimensionale delle accelerazioni da $\tau=0$ ad $\tau=1$ avrà la stessa forma di quello rispetto al tempo solo moltiplicato per un coefficiente moltiplicativo.

Considerando il diagramma delle accelerazioni \ddot{y} come il diagramma di un carro distribuito lungo la trave di lunghezza l , tale carro deve dare un momento risultante uguale all'elastico h . (17)

Così qualunque sia la forma del diagramma delle accelerazioni il MORDA deve valere h . cioè se ho un'elastico h e un tempo in cui raggiungerlo posso utilizzare una qualunque forma del diagramma delle accelerazioni ma deve essere tale da il momento risultante rispetto all'elastico sia pari ad h .

C'è un altro modo per calcolare il momento risultante. Considerando il diagramma di accelerazione applichiamo la risultante \dot{y}_{max} nel braccio del primo diagramma positivo, il momento risultante sarà pari a:

$$\int_0^{t_e} \ddot{y} t dt = \dot{y}_{max} (a) - \dot{y}_{max} (e+d) = -\dot{y}_{max} \cdot d$$

Applicando la proprietà MORDA si ottiene che:

$$-\dot{y}_{max} d = -h$$

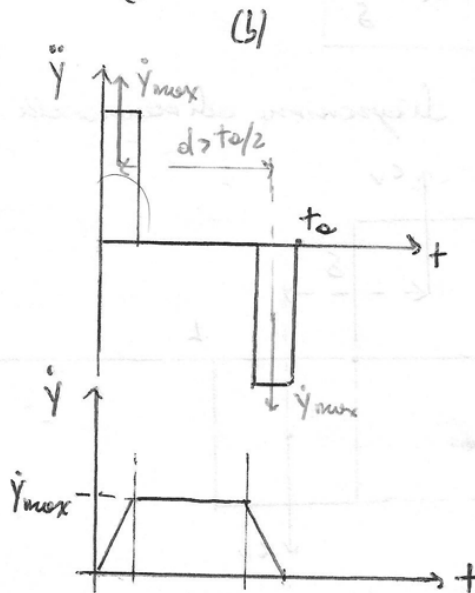
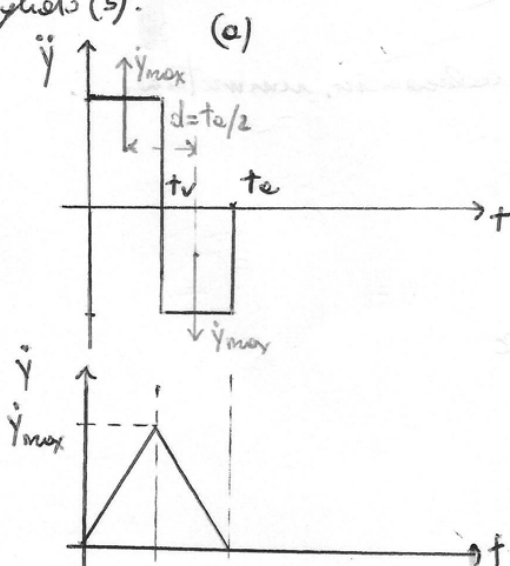
da cui:

$$\dot{y}_{max} d = h$$

Tale formula è molto utile quando è immediato rilevare il valore di d del diagramma delle accelerazioni:
 $d \Rightarrow$ distanza tra i bracci delle due aree ad accelerazioni positive e negative.
 In tal caso si impone che \dot{y}_{max} sia pari all'area netta del tratto di accelerazione positiva (o negativa)

Esiste quindi una relazione tra la velocità massima, la distanza d e l'elastico h che vogliamo ottenere. A parità di h se la distanza tra i bracci d sale la velocità massima diminuisce. \Rightarrow ciò giustifica il perché nei diagrammi di accelerazione tagliati si ottiene una diminuzione della velocità massima v_r .

Infatti consideriamo un diagramma simmetrico (a) delle accelerazioni e un diagramma tagliato (b).



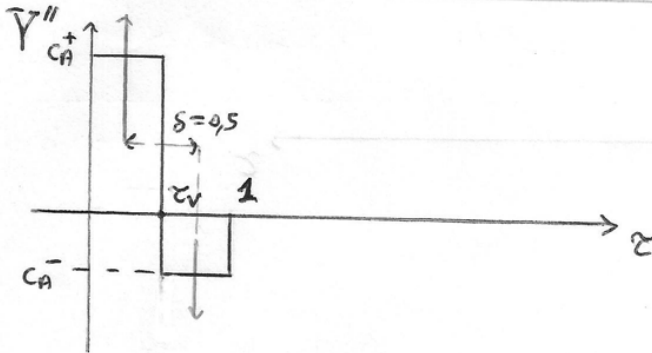
Si vede che nel caso di diagramma simmetrico si ottiene:

$$\delta = 0,5$$

e quindi:

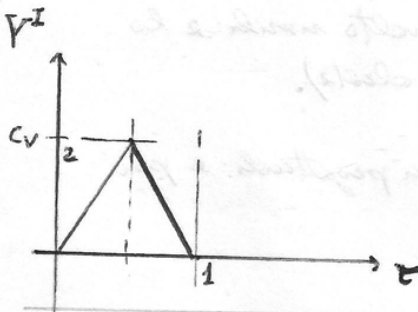
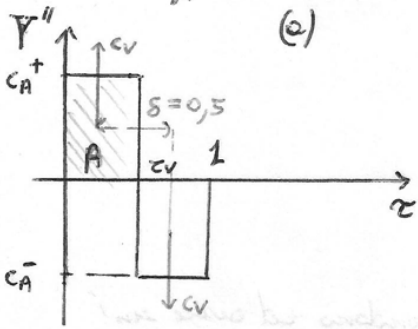
$$C_V = \frac{1}{\delta} = \frac{1}{0,5} = 2$$

Il fatto che il diagramma delle accelerazioni possa essere simmetrico non produce nessuna variazione nel valore di δ che sarà sempre pari a 0,5.

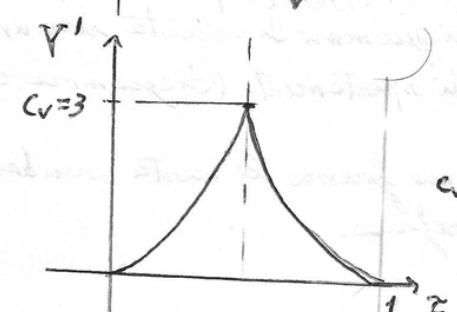
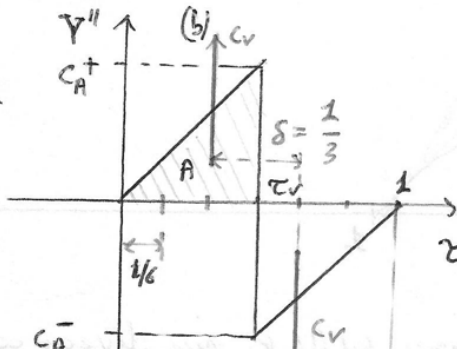


ESEMPIO

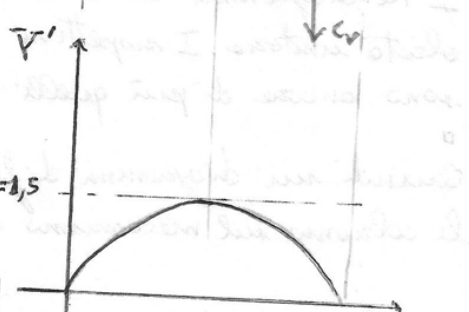
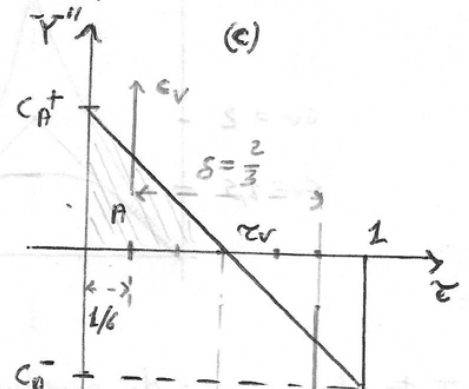
Consideriamo le leggi ordinamentali di accelerazione (a), (b) e (c) e ricaviamo i rispettivi diagrammi ordinamentali delle velocità e calcoliamo quanto servono valore i coefficienti di velocità nei tre casi.



$\delta = 0,5$
 $C_V \cdot \delta = 1 \Rightarrow C_V = \frac{1}{\delta} = 2$
 $C_V =$ area positivo diagramma accelerazioni.
 $C_V =$ area $A = C_A \cdot \tau_V$
 essendo simmetrico: $C_A^+ = C_A^- = C_A$
 $\tau_V = 0,5$
 $C_A = \frac{C_V}{\tau_V} = 4$



$\delta = \frac{1}{3}$
 $C_V = \frac{1}{\delta} = 3$
 $C_V =$ area $A = \frac{C_A \cdot \tau_V}{2}$
 essendo simmetrico $C_A^+ = C_A^- = C_A$
 $\tau_V = 0,5$
 $C_A = \frac{C_V \cdot 2}{\tau_V} = 12$



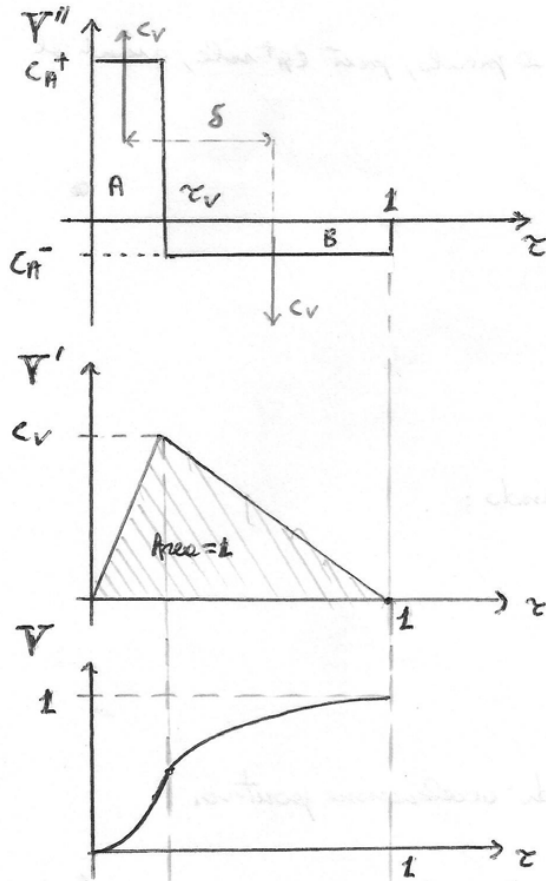
$\delta = \frac{2}{3}$
 $C_V = \frac{1}{\delta} = \frac{3}{2} = 1,5$
 $C_V =$ area $A = \frac{C_A \cdot \tau_V}{2}$
 essendo simmetrico $C_A^+ = C_A^- = C_A$
 $\tau_V = 0,5$
 $C_A = \frac{C_V \cdot 2}{\tau_V} = 6$

5^a LEZIONE

(18)

Le tre modalità di ragionare sul meccanismo: $y(t)$, $y(x)$ e $V(z)$ ci permettono di progettare il moto prima ancora di entrare nel merito del meccanismo.

Consideriamo il diagramma di accelerazione adimensionale costante non simmetrica in cui si ha due c_v non si trova a metà dello scorcio di solite ed inoltre $c_H^+ \neq c_H^-$



Il diagramma delle velocità adimensionale avrà un andamento lineare con valore massimo c_v .

Secondo la 2^a proprietà del diagramma delle accelerazioni si ha:

$$\int_0^1 V'' dz = \underbrace{V'(1)}_{\text{velocità finale}} - \underbrace{V'(0)}_{\text{velocità iniziale}} = 0$$

Ciò vuol dire che nel diagramma delle accelerazioni adimensionali l'area delle porte positive A deve essere uguale all'area delle porte negative B:

$$A = B$$

Nel caso di legge non simmetrica ciò si traduce in coefficienti di accelerazioni diversi:

$$c_H^+ \neq c_H^-$$

Consideriamo la proprietà MORDA (momento risultante del diagramma delle accelerazioni) che dice:

$$\int_0^1 V'' z dz = [V' z]_0^1 - \int_0^1 V' dz = - (V(1) - V(0)) = -1$$

Il momento risultante non anche porta:

$$-c_v s = -1$$

quindi:

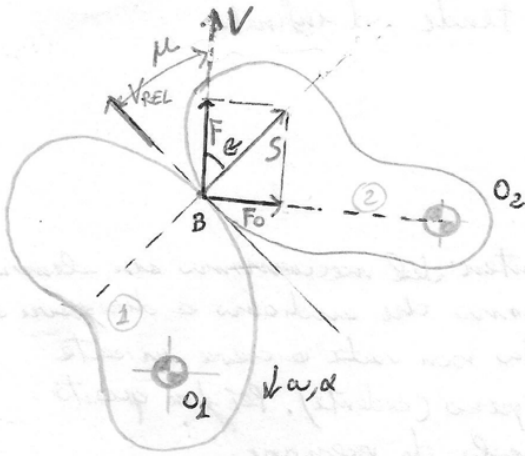
$$c_v s = 1$$

Nel caso che stiamo analizzando $s = 0,5$

quindi:

$$c_v = 2$$

Ciò è verificabile anche considerando che solo se $c_v = 2$ l'area sotto il diagramma adimensionale delle velocità è uguale ad 1.

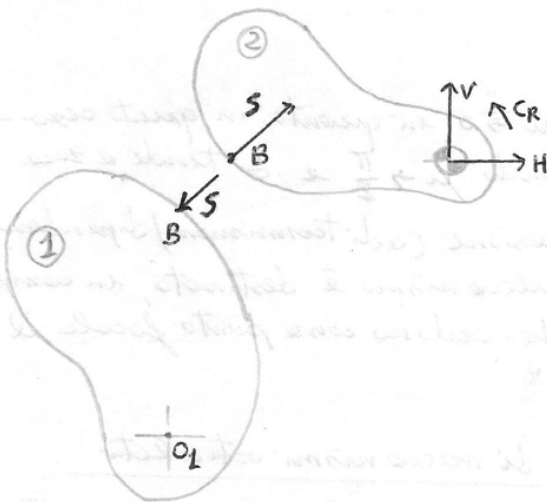


Se facciamo ruotare il movente
avremo una rotazione del cedente,
la trasmissione del moto si occupa di
studiare le forze scambiate fra movente e
cedente.

Se siamo nell'ipotesi semplificativa di
assenza di attrito si può essere sicuri che
la forza S che il movente applica al
cedente è diretta lungo la normale comune.

Non sappiamo quanto vale S in quanto dipende
dalle azioni preesistenti che si scaricano sul
cedente.

È possibile fare dei diagrammi di corpo libero rappresentando tutte le forze che si
scaricano sui sistemi come ad esempio le reazioni vincolari. Ved H e la coppia
resistente Cr e le azioni di trazione se le masse non sono trascurabili.



Se consideriamo il punto B di contatto
considerandolo appartenente al corpo 2
questo punto B percorre una traiettoria
ortogonale alla direzione BO_2 .
Possiamo quindi scomporre la risultante
applicata S nelle due componenti F ed F_0
La componente F_0 non interviene alla
trasmissione del moto ma sarà quella
che si scarica nella cerniera O_2 generando
una sollecitazione solo nelle coppie
rotazionali che sostengono la puntiera.
La componente utile alla trasmissione del
moto è F.

Se ha che:

$$F = S \cos \theta$$

L'angolo θ è detto ANGOLO DI PRESSIONE

Possiamo scrivere:

$$S = \frac{F}{\cos \theta}$$

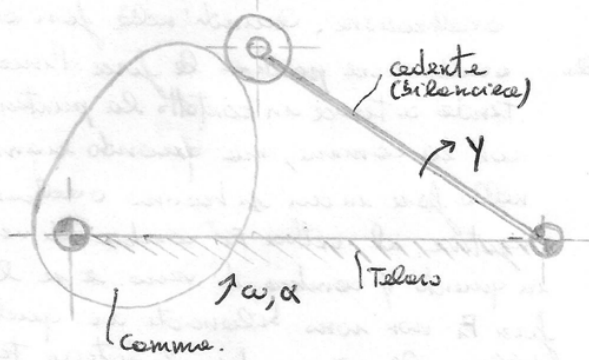
Bassi valori dell'angolo di pressione sono
rappresentativi delle coppie del meccanismo di
complice al movimento senza mutali sovraccarichi

In generale noi non siamo in grado di governare F (di scegliere quale F ci serve),
ma le coppie resistenti determinano il valore di F ed è un dato fisso.
A parte di F la forza S necessaria all'innalzamento cresce al crescere dell'angolo di
pressione.

MECCANISMI A CAMME

ASPETTI GENERALI

Si dicono a camme quei meccanismi nei quali la trasmissione del moto avviene per contatto di due profili opportunamente sagomati per realizzare la trasformazione richiesta dalla legge del moto.

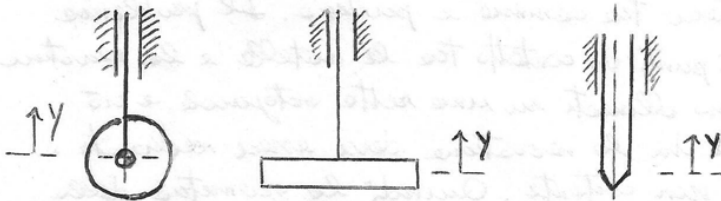


Normalmente essi sono costituiti da un movente animato di moto rotatorio uniforme, da un cedente animato di moto alternativo e da un tolero.

- Il cedente è detto anche bilanciera
- se il bilanciera tocca (punteggiato) il meccanismo viene detto CAMMA DI 1° SPECIE
- se il bilanciera ruota il meccanismo viene detto CAMMA DI 2° SPECIE

Le camme si dicono prone se il cedente si muove in un piano perpendicolare all'asse di rotazione del movente (in tal caso prendono anche il nome di eccentrici). In caso contrario si dicono spicchi.

Per quanto riguarda le puntece si hanno le tre tipologie principali:



ROTELLA

PIATTELLO

COLTELLO

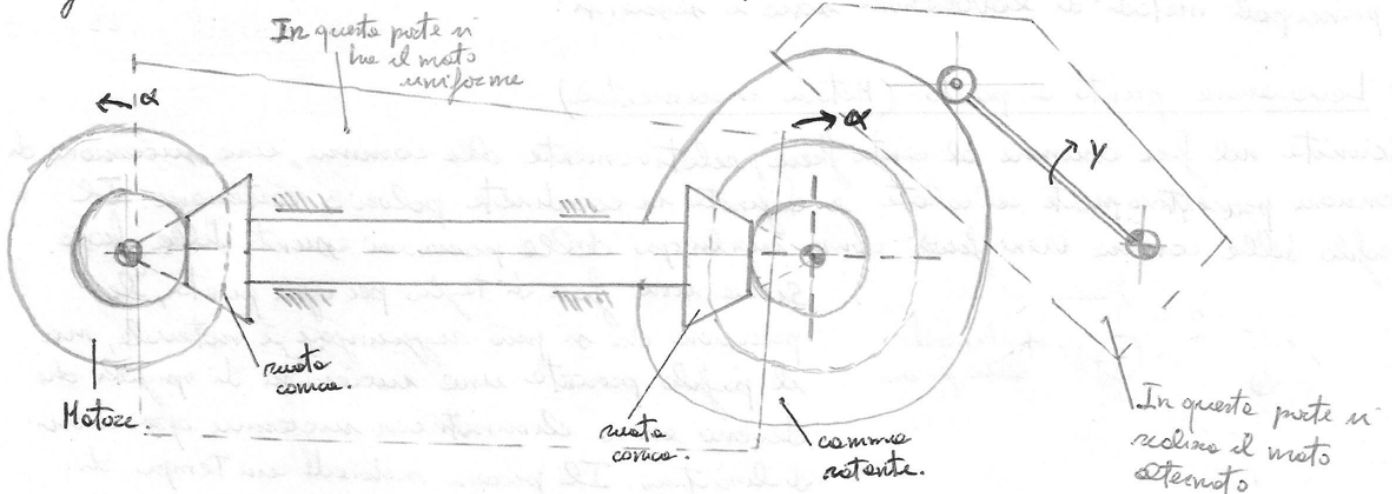
L'accoppiamento fra camme e cedente si dice di forza quando il contatto è assicurato dalle forze agenti sul cedente, in generale si ottiene mediante l'impiego di molle di richiamo.

Si dice di forma quando è l'accoppiamento stesso ad impedire il distacco fra movente e cedente.

Considerando un accoppiamento di forza dove il contatto è garantito da una molla la cui azione permette da non vi ma distacco poniamo analizzare quali sono i fenomeni che provocano il distacco. Il distacco fra le puntece e le camme è probabile

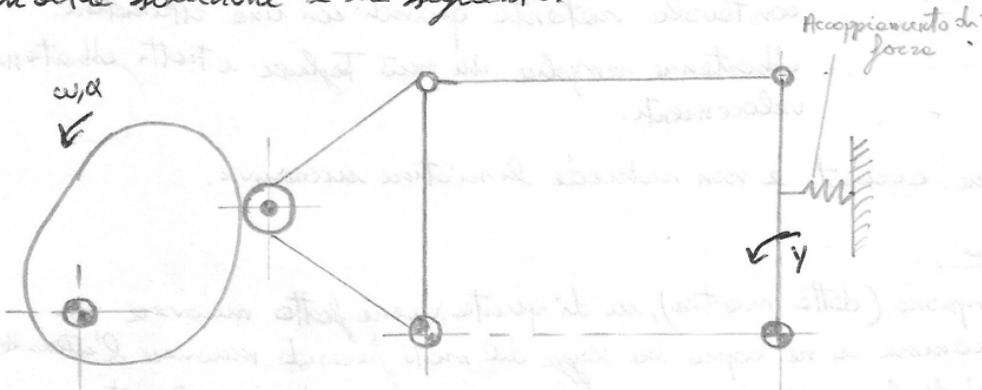
non ha una utilità pratica ma solo teorica, ma quando si parla di distacco analitico le superfici primitive di una camme si possono generare con una puntece e coltello e poi con le opportune modifiche si estende a contatti con puntece e rotelle. Quindi nell'ambito delle progettazioni è comodo poter sapere ciò che succede con un contatto puntiforme e poi vedere cosa succede con un contatto a rotelle o a piatello.

cedente tramite una trasmissione per moto uniforme e qui trasforma il moto uniforme nel moto richiesto tramite il dispositivo a camme



Il motore trasmette potenza ad una serie di sistemi e l'utilizzatore ne molto distante. La soluzione con ruote dentate è vantaggiosa in quanto volendo ottenere allo fine un moto alternativo non si dovrà accelerare o decelerare tutta la massa delle parti cinematiche e quindi le azioni meccaniche si concentrano solo su un piccolo insieme. Lo svantaggio è che avendo una trasmissione con ruote dentate si deve garantire una certa integrità e quindi tutte le volte che vi sono delle forze meccaniche localizzate su un insieme queste tendono ad innescare delle azioni di gioco nella trasmissione del moto \Rightarrow si percepisce quindi una qualche irregolarità dovuta ai giochi. Osserviamo che quest'ultimo aspetto è più evidente quando è il cedente a mettere in moto il movente. I giochi producono una qualche irregolarità della legge del moto

\rightarrow Un'altra soluzione è la seguente:



In questo caso si monta direttamente la camme sull'albero motore e poi si trasmette il moto alternato mediante un'asta (cioè attraverso un meccanismo rettilineo). Poiché tutti i membri della catena cinematica hanno delle leggi del moto dotate di accelerazione e decelerazione il motore è chiamato a fornire accelerazioni e decelerazioni di tutto il sistema di trasmissione. Quindi nel motore si verificano delle sollecitazioni meccaniche più consistenti rispetto al caso precedente. La soluzione ha il vantaggio di consentire una facile ripresa dai giochi innescando un accoppiamento di forza. Si ha così una ripresa automatica dei giochi.

Questo sistema è adatto sia per piccole che per grandi produzioni e in particolare è utilissimo per realizzare le camere campione.

Altri processi produttivi sono:

- Stampaggio
- Sinterizzazione
- Pressatura
- Tranciatura
(uno stampo che fa l'azione di taglio)

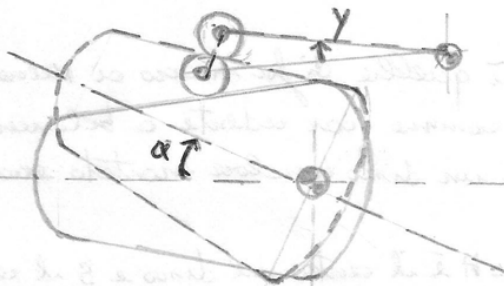
Sono tipici processi per grandi volumi.

L'operazione di taglio delle camere può essere seguita da un'operazione di rettifica, allo scopo di correggere le irregolarità geometriche che si producono nel taglio e nell'eventuale trattamento termico.

ANALISI CINEMATICA

L'analisi cinematica di un meccanismo a camere consiste nel correlare le caratteristiche cinematiche (posizione, velocità, accelerazione) del cedente con quelle del movente. È nota la geometria del meccanismo, compresa la forma dei profili. Si trascura la deformabilità dei vari organi, che vengono considerati come corpi rigidi, e si suppone che la velocità ω del movente sia costante. La camera viene rilevata per punti e da qui si ricade alla legge del moto del cedente.

Parliamo forzatamente delle recenti tecniche di analisi cinematica.

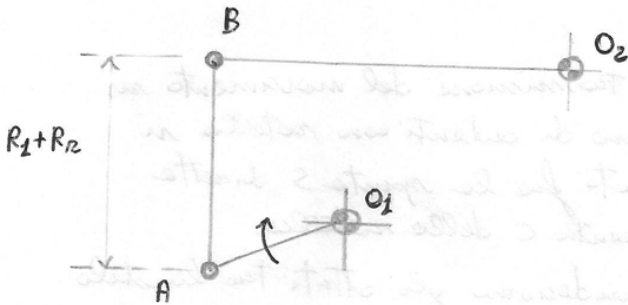


a) INVERSIONE CINEMATICA

Ripetere in termini di analisi cinematica anche solo per una camera piano geometricamente è molto complesso. Si usa allora una tecnica detta inversione cinematica.

Nelle cinematiche effettive noi ci mettiamo con un'osservatore solidale al telaio e quindi le camere che lo puntano si muovono. Nell'analisi cinematica invece la rappresentazione avviene considerando solidali alle camere che costituiscono la geometria più complessa. Se sono solidali alle camere non il telaio e ruotano rispetto all'osservatore. ⇒ veder le camere che ruotano il bilanciere in rotazione rispetto alle camere.

Si può quindi pensare di collegare i punti A e B con una biella ed eliminare i profili del disco e della rotella. Si ottiene il quadrilatero articolato O_1ABO_2 il cui bilanciace si muove esattamente come il bilanciace del meccanismo originale. (24)

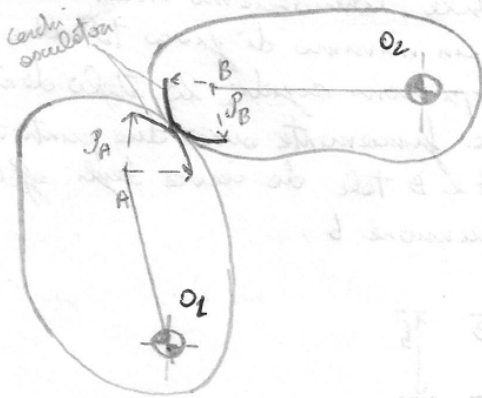


Tale quadrilatero costituisce il meccanismo cinematicamente equivalente al meccanismo originale di potenza.

Il meccanismo originale è equivalente al meccanismo articolato in cui la biella abbia dimensione $R_1 + R_2$.

Perché per i meccanismi articolati che non sono meccanismi di corpi rigidi è molto semplice fare un'analisi cinematica.

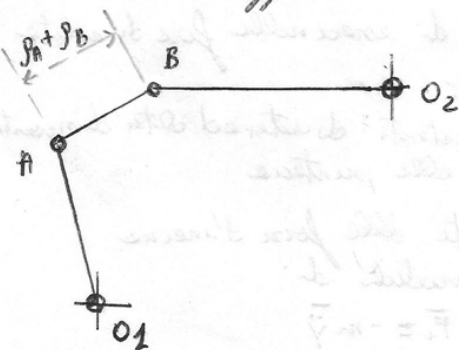
Vediamo come cambia quando si ha una cinghia non polidentica e abbiamo più cerchi di circonferenze, cioè consideriamo il caso generale.



Se il profilo della cinghia è costituito da più cerchi di circonferenze, il meccanismo equivalente cambia forma quando il punto di contatto passa da un arco ad un altro, si ottiene cioè un meccanismo equivalente diverso per ogni arco di circonferenza costituente il profilo

più in generale per profili comunque complessi si ha un meccanismo equivalente per ogni posizione del punto di contatto

In tal caso si possono sempre trovare i cerchi osculatori, come le circonferenze che hanno localmente nel punto di contatto comune-puntato il medesimo raggio di curvatura. Una volta definiti questi sono i cerchi osculatori e quindi trovati i loro centri posso considerare un meccanismo equivalente dove il posto di $R_1 + R_2$ si osserva i raggi $r_A + r_B$ dei cerchi osculatori. Vale sempre che la distanza AB è pari alle somme dei raggi osculatori.



Tale quadrilatero è il meccanismo intenzionale equivalente al meccanismo originale

Il problema è che se in un istante meccanico si crea un nuovo punto di contatto comune-puntato e in tale punto si osserva cerchi osculatori con raggio diverso. Quindi tale analisi cinematica può essere fatta da un punto di vista numerico ma non è più convenientemente da un punto di vista analitico

Proprio perché la puntiera ha un moto intermittente possiamo in generale ricavare le forze di attrito come:

$$T_2 = f N_2 \cdot \text{sign}(\dot{y})$$

↳ segno di \dot{y}
 e dice il segno delle forze di attrito tenendo conto che esse sono forze reattive e quindi di segno opposto a quello delle velocità \dot{y}

Possiamo quindi fare due ipotesi:

IPOTESI 1

Coefficiente di attrito f nullo e morsa m_p trascurabile (anche se quest'ultima ipotesi è in controtendenza in quanto dobbiamo considerare le morsi inerti)

$$f = 0 ; m_p = 0$$

L'equazione di equilibrio alla trazione verticale sarà:

$$1) S \cos \theta = F_{R2} + F_{i2}$$

da cui:

$$S = \frac{F_{R2} + F_{i2}}{\cos \theta}$$

Quindi la spinta S tende a valori infiniti quando l'angolo di premione θ tende a $\pi/2$.

Bisogna anche considerare la PRESSIONE DI CONTATTO.

Si deve infatti stare attenti da le leggi del moto reale non generi dei problemi nella premione di contatto

La premione di contatto può essere valutata con la formula di Hertz valida per due corpi a geometrie cilindriche.

$$P = \sqrt{0,175 \frac{SE}{bR_2} \left(1 + \frac{R_2}{\rho}\right)}$$

dove:

$b \Rightarrow$ dimensione media del contatto commo - puntiera

$E \Rightarrow$ modulo di elasticità del materiale

$S \Rightarrow$ forza

$R_2 \Rightarrow$ raggio delle rotelle

$\rho \Rightarrow$ raggio di curvatura della commo nel punto di contatto con la puntiera

Del sistema possiamo ricavare:

$$N_2 = S \sin \alpha \frac{a+b}{b}$$

$$N_1 = N_2 - S \sin \alpha = S \sin \alpha \frac{a}{b}$$

Al crescere della spinta S , linearmente con essa crescono N_1 ed N_2 . Più la spinta è forte più le forze N_1 ed N_2 sono forti e conseguentemente aumentano i valori di T_1 e T_2 . Quindi maggiore è la spinta S maggiore è l'attrito nelle guide. Ciò può generare dei fenomeni di IMPUNTAMENTO in cui non si riesce più ad ottenere la traslazione delle punte.

Andando a sostituire N_2 ed N_1 nelle (2) e nelle (3) ed i valori T_1 ed T_2 nelle (1) si ottiene:

$$S \cos \alpha = F_r + F_i + f \left(S \sin \alpha \left(\frac{a}{b} + \frac{a+b}{b} \right) \right)$$

da cui:

$$S = \frac{F_r + F_i}{\cos \alpha - f \sin \alpha \frac{2a+b}{b}} \quad (6)$$

Si osserva che non è solo la condizione $\alpha \rightarrow \frac{\pi}{2}$ a generare la condizione $S \rightarrow \infty$, in realtà a valori di S infiniti si arriva per angoli minori di $\frac{\pi}{2}$.

Ciò avviene quando il denominatore dell'equazione (6) va a zero. Esiste quindi un valore α_0 di α che annulla il denominatore e rende infinita la spinta S .

$$S \rightarrow \infty \text{ se } \alpha = \alpha_0$$

la condizione d'impuntamento sarà quindi:

$$\cos \alpha_0 - f \sin \alpha_0 \frac{2a+b}{b} = 0$$

che può essere scritta come:

$$\tan \alpha_0 = \frac{b}{f(2a+b)} \quad (7)$$

L'angolo α_0 per cui $S \rightarrow \infty$ è quindi da evitare.

Ad esempio per $f = 0,15 \Rightarrow$ attrito molto basso (attrito secco con un po' di lubrificazione)
 $b = 2a$

si ha $\alpha_0 = 73^\circ$

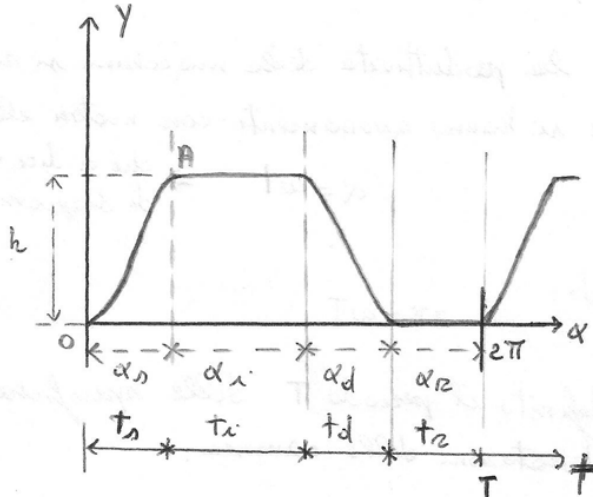
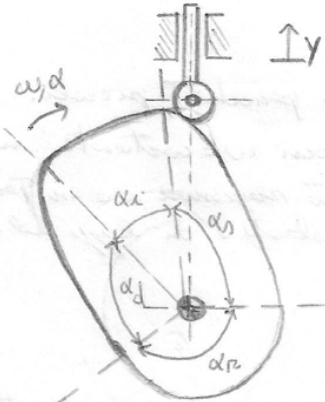
quindi la condizione limite non è per $\alpha = 90^\circ$ ma si verifica prima, a causa della presenza di attriti.

Se durante il funzionamento risulta $\alpha > \alpha_0$ si ha l'impuntamento e, se lo stesso non si verifica, il meccanismo si rompe.

6^o LEZIONE

SCELTA DELLA LEGGE DEL MOTO

1 DIAGRAMMA DELLE ALZATE



Quando si deve progettare un meccanismo a camma il punto punto è il tracciamento qualitativo del diagramma delle alzate, in modo da stabilire le successe, le durata e l'ampiezza dei movimenti in accordo con la funzione che il meccanismo deve svolgere. Consideriamo una camma piana con puntone tradente. Quanto diremo può essere esteso a qualunque altro sistema a camma.

Consideriamo alcuni angoli notevoli:

$\alpha_2 \Rightarrow$ angolo di riposo (tratto a raggio costante piccolo, quando la puntone tocca il lato della camma definito da tale angolo resta ferma perché la distanza tra il centro della puntone ed il centro della camma rimane costante)

$\alpha_0 \Rightarrow$ angolo di salita (in coordinate polari il raggio della camma cambia e ne esce il che è l'angolo di salita).

$\alpha_1 \Rightarrow$ angolo intermedio (il raggio di curvatura della camma è costante e quindi si ha un arco della puntone ma meno nelle condizioni di minima distanza della puntone dal centro della camma, cioè meno in condizioni di slitta normale h)

$\alpha_d \Rightarrow$ angolo di discesa (corrisponde alla discesa della puntone)

Questi quattro angoli si ritrovano nel diagramma delle alzate $y(\alpha)$.

Vediamo quali sono normalmente le specifiche di progetto

- Si richiede un moto intermittente, deve essere un moto alternativo e l'alzate deve essere pari ad h
- Specifiche di progetto sono i tempi t_r, t_i, t_d, t_f in cui devono essere eseguite le fasi di salita, intermedia, discesa e riposo

Dalle specifiche di progetto il progettante deve andare a scegliere dei diagrammi delle sollecitazioni e le macchine derivate, tenendo conto di questi quattro aspetti fondamentali. (28)

→ Limitazioni dell'accelerazione massima

Generalmente le forze d'inerzia sono una componente importante delle forze complessive agenti nel cedente. Inoltre essendo legate all'accelerazione del cedente, esse variano periodicamente e non ottengono a produrre vibrazioni. La tendenza è pertanto quella di limitarle il più possibile. Per forze u_0 a parte di u , occorre limitare l'accelerazione massima del cedente.

Ricordiamo che:

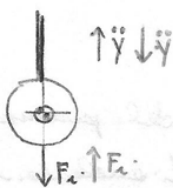
$$\ddot{y}_{max} = y'' \omega^2 = Y''_{max} \frac{h}{\alpha_0^2} \omega^2 = c_A \frac{h}{\alpha_0^2} \omega^2$$

osserviamo che h , α_0^2 ed ω sono specifiche di progetto quindi se vogliamo limitare l'accelerazione massima si deve andare a prendere la legge di accelerazione Y'' che presenta il coefficiente c_A più basso possibile. Ecco perché è importante ragionare in termini di diagrammi adimensionali.

Il progettante può poi discutere alcune specifiche come α_0 che se grande provoca un abbattimento dell'accelerazione \ddot{y}_{max} elevata in quanto compare nell'espressione al quadrato.

Si può anche richiederla delle grandi produttività con ω elevati ma u_0 made maximum nel valore di \ddot{y}_{max} in quanto nella formula compare al quadrato.

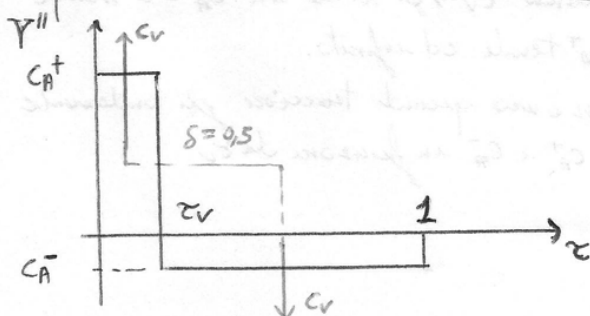
Consideriamo che vi sia un'accelerazione massima negativa \Rightarrow se si considera il diagramma di un corpo libero della puntone quando si hanno delle ecc. positive le forze d'inerzia tendono a generare il contatto come puntone, ma quando il valore \ddot{y} diventa negativo le forze d'inerzia cambiano di segno e tendono a staccare la puntone dalle camme.



Allora il discorso dell'accelerazione massima da un lato si traduce in forze di contatto molto grandi quando le accelerazioni sono positive, dall'altro quando sono negative esse generano un distacco e u_0 a parte e servono di molle molto robuste

in grado di vincere le forze d'inerzia generate dalle minime accelerazioni negative.

Da questo detto sono convenienti le leggi simmetrizzate di accelerazione



Correttezza se $c_A^+ \neq c_A^-$

Osserviamo che diminuendo c_A^- si fa crescere c_A^+ quindi si devono cercare delle condizioni di compromesso.

Quando il progettista sceglie le forme simmetriche in cui le fasi di accelerazione positive sono meno della fase di accelerazione negativa. Non meno che ridurre τ_v si ottiene una diminuzione di C_A^+ e scapito di un aumento di C_A^- , solitamente la riduzione di componenti è $\tau_v = 0,25$. Andare al di sotto di $\tau_v = 0,25$ non ha nessun quanto per C_A^- otteniamo come limite e mentre si incline di aumentare notevolmente il valore di C_A^+ .

Osservando che il legame tra C_A^+ e C_A^- del tipo $C_A^+ \tau_v = (1 - \tau_v) C_A^-$ è vero solo se le leggi di accelerazione sono costanti a tratti.

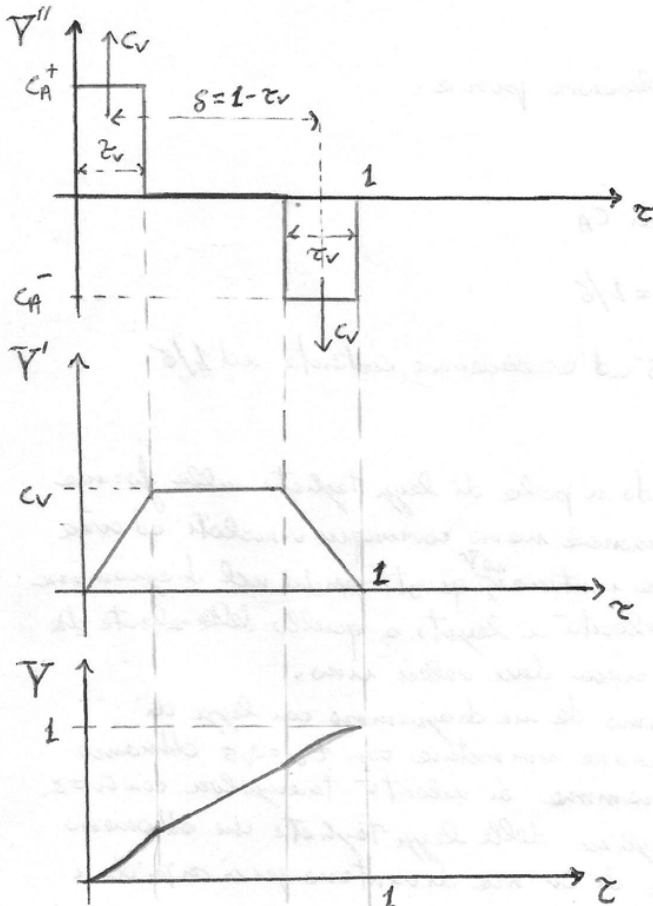
→ Limitazione della velocità massima.

In diverse applicazioni è conveniente ridurre la velocità massima del cedente.

$$\dot{Y}_{max} = Y'_{max} \cdot \omega = Y'_{max} \frac{h}{\alpha_s} \omega = C_v \frac{h}{\alpha_s} \omega$$

A parità di ω , considerando che h e α_s sono delle specifiche di progetto, per limitare la velocità massima si deve diminuire il coefficiente C_v , cioè si deve scegliere la legge di velocità con un C_v più basso possibile.

A questo scopo risultano buone le LEGGI TAGLIATE dove si adotta un diagramma di accelerazione in cui vi sia una fase intermedia nulla. Il diagramma di forme delle accelerazioni e velocità e il rispettivo diagramma di forme delle scelte di una legge tagliata è il seguente:



Il braccio che ci serve per determinare il momento risultante è pari a:

$$S = 1 - \tau_v$$

Vale la relazione:

$$C_v \cdot S = 1$$

e quindi:

$$C_v = \frac{1}{1 - \tau_v} \quad (1)$$

Le leggi tagliate sono vantaggiose in quanto per τ_v che tende a valori molto piccoli (al limite $\tau_v \rightarrow 0$) si ha che $C_v = 1$. Cioè il taglio permette un abbassamento del coefficiente C_v .

Consideriamo la seconda equazione:

$$C_v = C_A \cdot \tau_v \quad (2)$$

Dalle (1) e dalle (2) si ottiene:

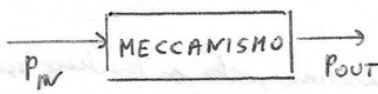
$$C_v \left(1 - \frac{C_v}{C_A}\right) = 1$$

due frange. la condizione limite è quella di un rettangolo con altezza e base unitarie con frange quindi completamente verticali, e cui corrisponde un $C_A \rightarrow \infty$.
 cioè C_A è la pendenza dei frange e non meno che tende al valore di C_V aumenta la pendenza dei frange fino al limite di rettangolo per cui $C_A \rightarrow \infty$. Questo è la espressione grafica dell'andamento $C_A = \frac{C_V^2}{C_V - 1}$.

Se voglio limitare la velocità massima devo utilizzare legg. di accelerazione tangenziale che mi obbliga a C_V una data il valore di C_A
 → Limitazione delle coppie motore

Un meccanismo ha una potenza in ingresso P_{IN} fornita dal motore ed una potenza in uscita P_{OUT} sul cedente.

La potenza in ingresso sarà pari a:



$$P_{IN} = C \cdot \omega$$

↳ coppia applicata all'elica solidale alla cerniera

$$P_{OUT} = F \cdot \dot{y}$$

↳ velocità di traslazione della puntiera
 ↳ forze applicate alle puntiere.

Considerando un cedente e puntiera indichiamo quindi con F la forza complessiva agente sul cedente.



Trascurando gli attriti e la massa dello stelo si ha:

$$F = F_R + F_i$$

dove:

$F_R \Rightarrow$ forza resistente che dipende dal "meccanismo" che fa la puntiera

$F_i \Rightarrow$ attriti meccanici che si vanno a trascurare nell'estremità della puntiera. Forze d'inerzia esterne.

rispetto all'entità delle forze esterne applicate all'estremità dello stelo, le forze d'inerzia e di attrito dello stelo sono trascurabili.

Nell'ipotesi di rendimento unitario del meccanismo ($\eta = 1$) si ha che la potenza d'ingresso viene trasferita completamente all'esterno, cioè:

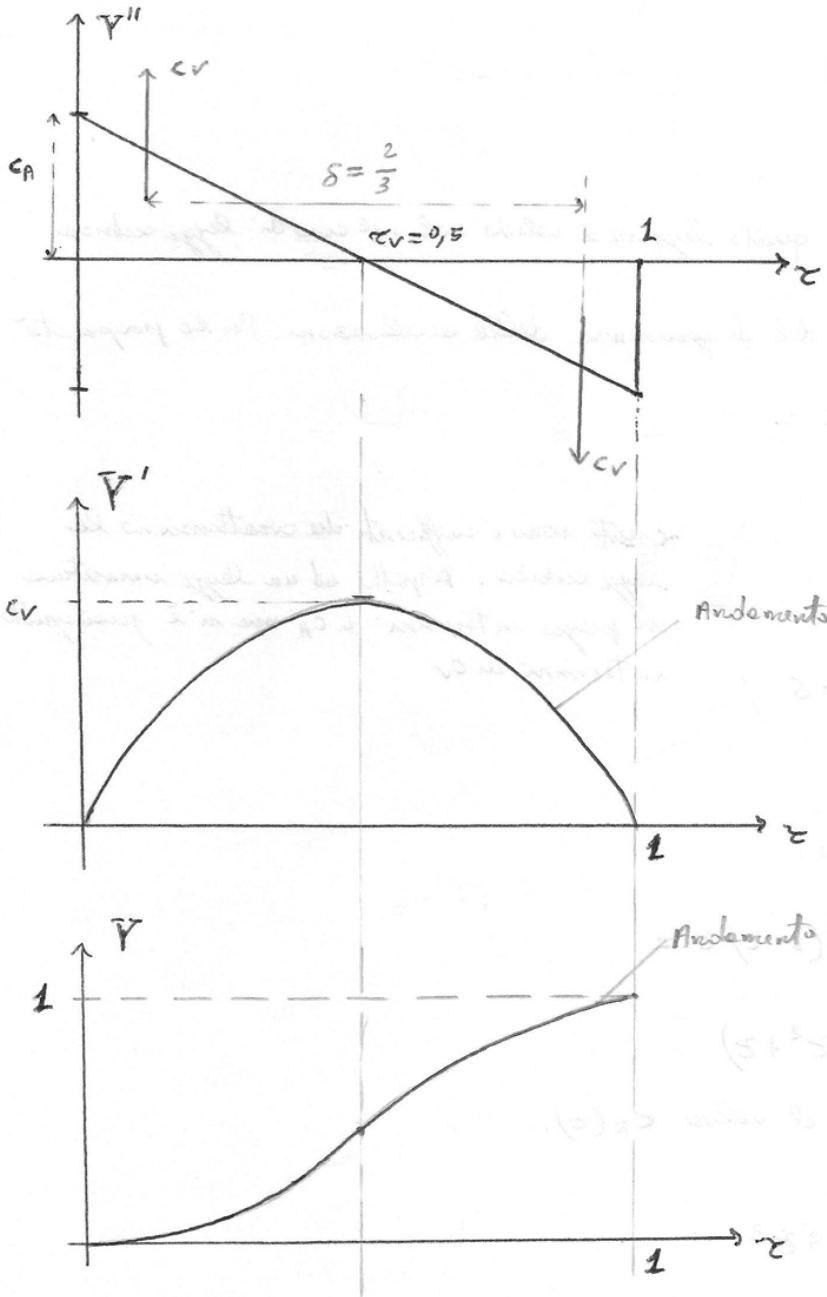
$$C\omega = F \cdot \dot{y}$$

Si può osservare che quando siamo di fronte a velocità elevate (meccanismi veloci) si ha che l'entità delle forze resistenti non può essere dell'entità delle forze d'inerzia esterne in gioco:

$$\text{se } \omega \uparrow \Rightarrow F_R \ll F_i$$

ed allora:

$$F \cong F_i = m \ddot{y}$$



Si osserva che il coefficiente c_A e il coefficiente c_V sono al momento dello spostamento e quindi quando si va a fare il prodotto delle funzioni Y'' e Y' i momenti non sono tra loro allineati ma col momento di distanza. L'accelerazione è massima quando la velocità è nulla, e la velocità è massima quando l'accelerazione è nulla \Rightarrow è una condizione ideale per il coefficiente di coppia c_K che si ottiene dal prodotto delle due funzioni. Scriviamo l'equazioni delle due funzioni di accelerazione Y'' e di velocità Y' :

$$Y'' = c_A (1 - 2\tau)$$

$$Y' = \int_0^\tau Y'' d\tau = c_A \tau - 2c_A \frac{\tau^2}{2}$$

Il momento della velocità si ottiene per $\tau = 0,5$ (momento delle parabole), per cui:

Poiché siamo nella ricerca del massimo il valore che interessa è τ_1

$$\tau = \tau_1 = \frac{1}{2} - \frac{\sqrt{3}}{6}$$

quindi il coefficiente di coppia sarà pari a:

$$C_K = C_A^2 \cdot G(\tau_1) = 2\sqrt{3} = 3,4$$

quindi risommando:

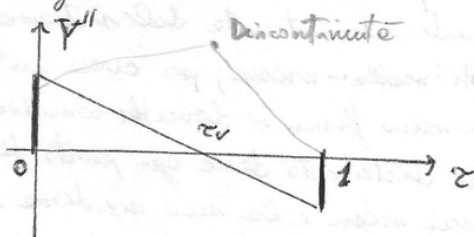
$$C_K = 3,4 \quad ; \quad C_A = 6 \quad ; \quad C_V = 1,5$$

si vede che $C_K < C_A \cdot C_V$

Quindi disallineando i momenti si ottiene un coefficiente di coppia C_K piccolo con coefficienti C_A e C_V comunque ancora accettabili.

Con riferimento al C_K la legge cubica è una delle migliori.

La legge cubica non è comunque buona per ciò che concerne le accelerazioni in quanto nel disporre delle accelerazioni nell'istante iniziale $\tau=0$ e finale $\tau=1$ vi sono delle forti discontinuità.

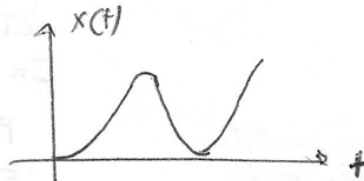
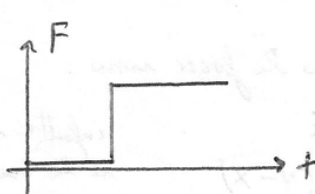
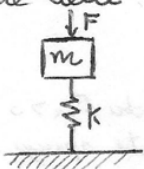


→ Limitazioni delle vibrazioni:

Anche in assenza di veri o di fenomeni di vera e propria risonanza, il funzionamento delle macchine veloci è normalmente accompagnato da vibrazioni che, se per limitate in ampiezza, inducono nel cedente accelerazioni molto più elevate di quelle previste, e che talvolta risultano intollerabili. È da tempo che questo fenomeno è associabile principalmente alle discontinuità delle accelerazioni \ddot{y} .

Discontinuità dell'accelerazione significano brusche variazioni delle forze d'inerzia. Rilevanti discontinuità di tali forze, agendo su un sistema elastico, come è in definitiva il meccanismo, provoca l'innescio di fenomeni vibratorii.

Considerando infatti l'anello con un sistema massa-molla sollevato con una forza e poichè ciò che si ottiene è una legge del moto che in generale induce delle oscillazioni.



L'equazione dinamica diventa:

$$m\ddot{x} - k_0(y-x) = 0 \quad (1)$$

in tratta di un'eq. differenziale non omogenea.
Introduciamo la variabile:

$$z = y - x \Rightarrow \text{eccitazione delle molle.}$$

in che da $\ddot{z} = \ddot{y} - \ddot{x}$

possiamo ricambiare l'espressione (1) nella forma:

$$\ddot{x} - \frac{k_0}{m}(y-x) = 0$$

dove si definisce:

$$\omega_0 = \sqrt{\frac{k_0}{m}} \quad \text{è detto pulsazione propria del sistema}$$

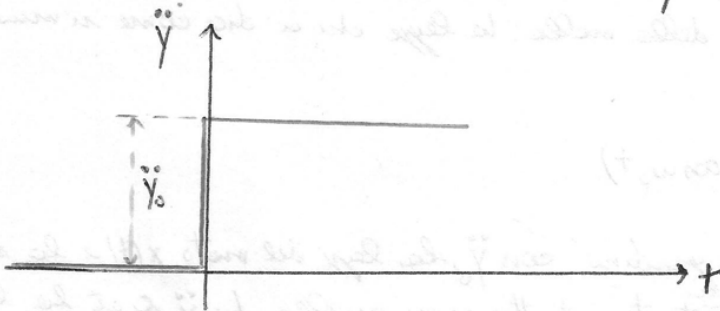
ostituendo la variabile z si ottiene:

$$\ddot{y} - \ddot{z} - \omega_0^2 z = 0$$

cioè

$$\ddot{z} + \omega_0^2 z = \ddot{y}$$

Si consideri il caso in cui l'accelerazione \ddot{y} passa bruscamente da 0 ad un valore costante \ddot{y}_0 come avviene rovente nelle fasi di rotite. Si tratta dello interesse più spaziale di un'accelerazione imposta dalle camme con una discontinuità. ciò è schematizzabile come una sollecitazione imposta a GRADINO



Le soluzioni dell'eq. del moto e quindi la risposta del sistema sarà:

$$z(t) = \underbrace{A \sin(\omega_0 t) + B \cos(\omega_0 t)}_{\text{funzione armonica}} + \frac{\ddot{y}_0}{\omega_0^2} \rightarrow \text{termine costante}$$

le costanti A e B si determinano componendo le condizioni iniziali e quelle al contorno.

Scegliere leggi di accelerazione $\ddot{y}(t)$ continue e tratti o che comunque presentino delle discontinuità non sono consigliabili ai fini della limitazione dei fenomeni vibrotori; in quanto la discontinuità fa sì che la legge di accelerazione $\ddot{x}(t)$ della puntatura sia di tipo oscillatorio rispetto a quella $\ddot{y}(t)$ che vorremmo imporre con la corrente.

Nonostante il fenomeno sia attenuato dalla presenza di attriti, si può in generale affermare che ad ogni discontinuità di \ddot{y} corrisponde una sovraccelerazione di entità circa pari alla discontinuità stessa.

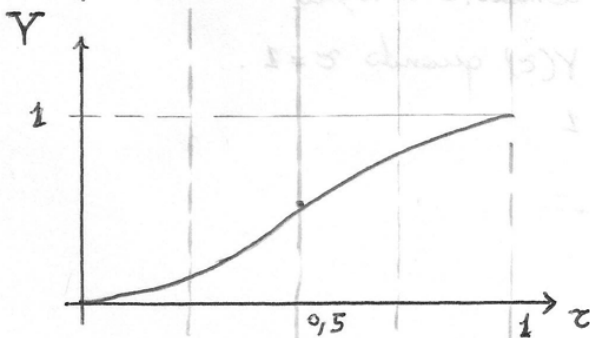
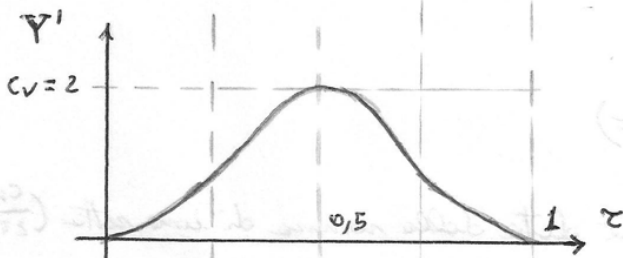
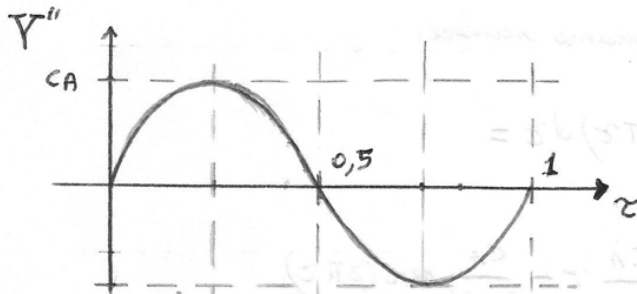
Poiché durante il funzionamento queste discontinuità si manifestano a distanze ravvicinate di tempo, le sovraccelerazioni tendono a sommarsi, e quindi sotto certe condizioni possono raggiungere valori inaccettabili.

Quindi volendo ottenere una sollecitazione a profilo a corrente della mano della puntatura otteniamo un sistema che vibra ad alta frequenza.

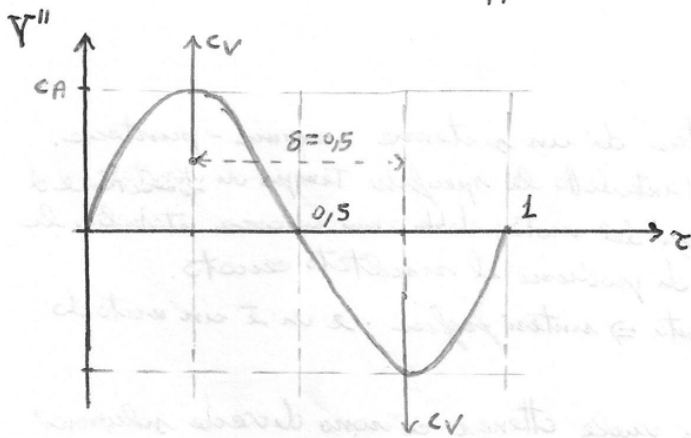
Le leggi con accelerazioni continue e tratti non è una buona legge, ne discende la convenienza di utilizzare ove possibile leggi $\ddot{y}(t)$ prive di discontinuità.

Una buona legge delle accelerazioni per ciò che concerne la limitazione delle vibrazioni è la LEGGE CICLOIDALE descritta da una funzione armonica moltiplicata.

Ci poniamo il problema di trovare il valore C_A che ci permette di ottenere nel diagramma delle derivate \dot{Y} un'orbita unitaria (durante la corsa di velocità).



Possiamo trovare il valore di C_A applicando la proprietà MORDA.



Si ha che considerando la parte positiva (o negativa) del diagramma delle accelerazioni:

$$C_V \delta = 1$$

essendo $\delta = 0,5$

si ottiene:

$$C_V = \frac{1}{\delta} = \frac{1}{0,5} = 2$$

Inoltre si ha che:

$$C_V = Y''_{max}$$

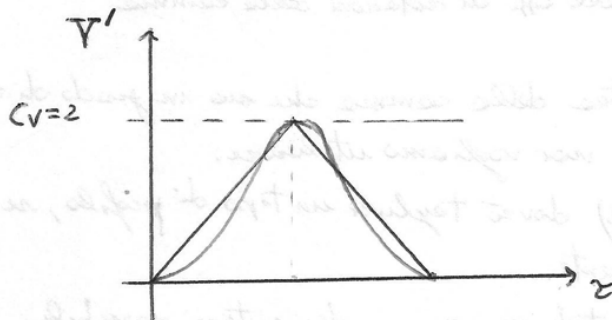
il valore di Y'_{max} si ottiene per $\tau_V = 0,5$, quindi:

$$C_V = Y'(0,5) = \frac{C_A}{2\pi} (2) = \frac{C_A}{\pi}$$

essendo $C_V = 2$ si ottiene:

$$C_A = C_V \pi = 2\pi$$

Il coefficiente di velocità C_V è lo stesso che si applica nella legge ad accelerazione costante e tratti da presente un diagramma ordinario delle velocità trasversali. Sostanzialmente la legge circolare rappresenta in termini di velocità lo stesso tratto della legge costante e tratti "adibolenziale", cioè senza curve dei volti di accelerazione.



La forma della camma risulta determinata dall'involuppo delle successive posizioni che il cedente assume in tale movimento.

E' ovvio che in corrispondenza dei tratti di arresto o di riposo delle camme è coinvolta

Si parte nella sintesi grafica dal tracciamento di un cerchio detto CERCHIO DI BASE corrispondente al tratto di riposo dove $y=0$.

Il cerchio di base ha raggio R_{b0} .

Conveniamo che si usino le simbologie:

- pedice 0: \Rightarrow indicheremo il profilo primitivo, che è il profilo che il sistema avrebbe se la puntiera fosse una rotella di raggio nullo
- senza pedice. \Rightarrow indicheremo il profilo che il sistema camma-puntiera ha se la rotella ha raggio R_r

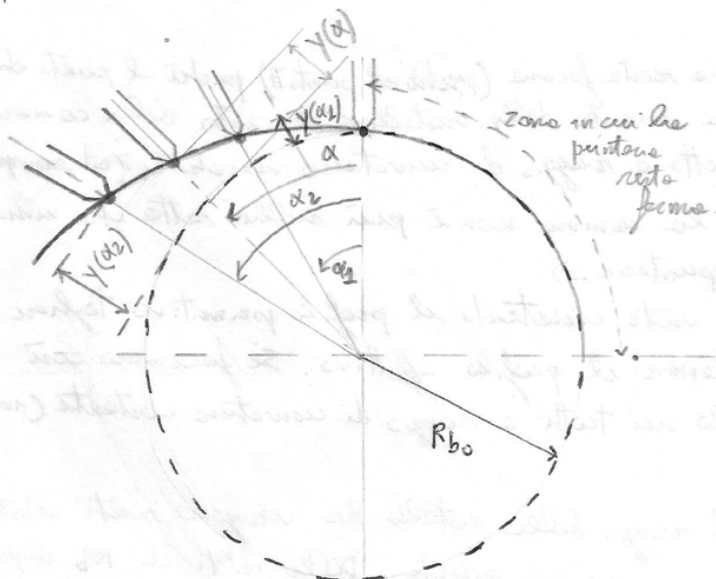
Prima si ragionerà sul sistema considerato profili primitivi (cioè si regolerà il centro delle rotelle) e poi si introdurranno le complessità dovute al fatto che la rotella ha un raggio non trascurabile.

Per ottenere il profilo della camma, si disegnerà dapprima il cerchio di base R_{b0} di un meccanismo ideale con cedente a punta.

Con riferimento all'inversione cinematica si farà un disegno in cui viene tenuta fissa la camma e fanno ruotare l'ore delle puntiera attorno alla camma.

La puntiera ad un certo punto abbandona il raggio di base per un movimento rettilineo e si solleva di un tratto $y(\alpha)$ rispetto al cerchio di base.

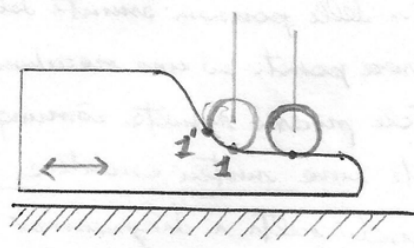
Poiché il disegno delle eliche lo regoleremo noi ci è sufficiente col metodo dell'inversione cinematica metterci: per ogni valore di α nel profilo e ripetere il costrutto $y(\alpha)$ e quindi tracciare il profilo primitivo.



Scegliendo R_b } n determinazioni
 R_r } \Rightarrow

- $\rightarrow \alpha(\alpha) \Rightarrow$ Angolo di premione
- $\rightarrow \rho(\alpha) \Rightarrow$ Raggio di curvatura
- \rightarrow viene valutata l'eventuale premione di SOTTOTAGLIO

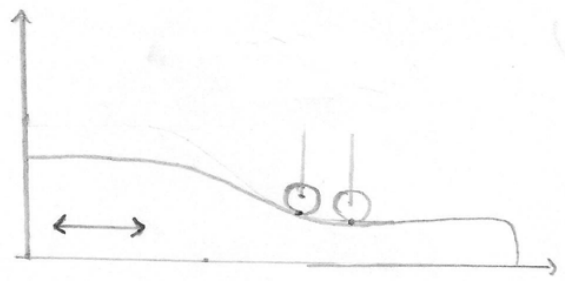
Il rottotaglio è un fenomeno che si vede bene nelle camicie piane.



Se considero una camicia tralante da donna una determinato profilo capace di realizzare il diagramma delle elastiche voluto più capotore che la rotella in un determinato istante tocchi con la camicia non in un solo punto ma in più punti (ad esempio 1 ed 1'). Quindi se da un punto di vista analitico il profilo è eretto in realtà la puntatura si formerà prima.

Il rottotaglio è un problema che deriva dal fatto che la rotella ha un raggio diverso da zero e quando il profilo delle camicie ha delle concavità particolarmente strette tale fenomeno si può manifestare.

In generale nel caso di camicie piane, quando ci si scorge di tale problema, si deforma il profilo allungandolo e per ottenere la stessa legge di spostamento si fa maggiore più velocemente la camicia.



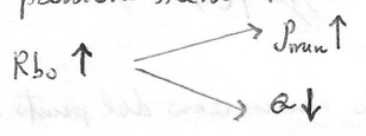
Il rottotaglio in sostanza produce il fatto che la rotella non può raggiungere tutte le porzioni delle camicie in giro in alcune zone (ad esempio tutto 1-1') il contatto non si può manifestare e causa di un ingombro troppo elevato delle rotelle rispetto alle curvature delle camicie.

Deformando la camicia si "addolcisce" le curvature rendendo possibile il contatto tra la rotella e tutte le porzioni delle camicie.

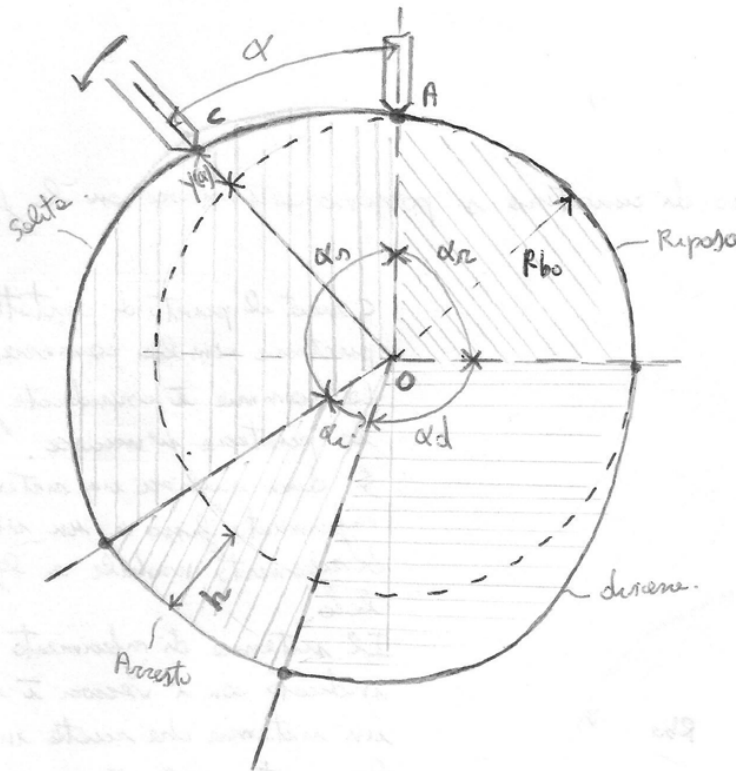
Nel caso di camicie rotanti si può fare una cosa simile: per allungare il profilo basta far crescere il raggio di base.

A parte di legge delle elastiche $y(\alpha)$ che si vuole realizzare aumentando il raggio di base si addolcisce il profilo delle camicie evitando d'incorrere nel problema del rottotaglio.

Cio che si osserva è che se il raggio di base R_b cresce in generale il raggio di curvatura minimo corrente (cio è un bene ai fini delle premioni di contatto Hertziane) mentre l'angolo di premione scende.



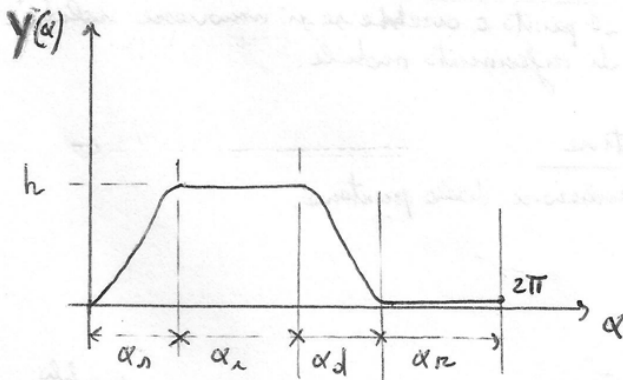
Quindi in generale far crescere R_b è conveniente solo se aumentano le dimensioni e l'ingombro delle camicie.



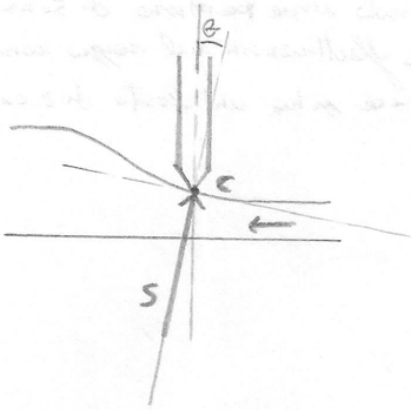
Le pentene sono ad alcuni momenti il tratto di solite, tracciare il profilo primitivo della camme (da si ricorda coincidente con quello effettivo se la rotella avesse raggio nullo).

Il profilo primitivo è composto da:

- un tratto di solite (angolo α_n) di forma complessa
- un tratto di riposo (angolo α_r) costituito da un arco di circonferenza di raggio R_{b0}
- un tratto di durezza (angolo α_d) di forma complessa
- del restante tratto di arresto (angolo α_s) costituito da un tratto di circonferenza di raggio R_{b0} .



In coordinate polari il profilo primitivo della camme è definito dalle generatrici distanze OC e dall'angolo α



Quindi la velocità angolare ω sta nella tangente del profilo nel punto C di contatto.

Quindi l'angolo di pressione θ sarà quello formato dalle direzioni dei vettori \vec{v}_e e \vec{v}_r .

Per calcolare θ devo trovare il valore dei vettori \vec{v}_e e \vec{v}_r .
 La parte di profilo BB' avrà un raggio di curvatura ρ_0 che identifica il centro di curvatura K del profilo.
 Si ha che $\rho_0 = \overline{CK}$

La velocità angolare sarà ortogonale al segmento \overline{CK} in quanto deve essere tangente al profilo delle corone.

$$\vec{v}_e \perp \overline{CK}$$

La velocità relativa in modulo sarà pari a:

$$|\vec{v}_r| = \dot{y} = y' \cdot \omega$$

ed è parallela al segmento $\overline{CO} \Rightarrow \vec{v}_r \parallel \overline{CO}$

La velocità di trascinamento è data da:

$$|\vec{v}_T| = \overline{CO} \cdot \omega = r_0 \cdot \omega = \omega (R_{b_0} + y)$$

\downarrow
 velocità angolare
 attorno alle corone

ed è perpendicolare a \overline{CO} .

Quindi l'angolo di pressione è dato da:

$$\tan \theta = \frac{|\vec{v}_r|}{|\vec{v}_T|} = \frac{\omega y'}{\omega (R_{b_0} + y)} = \frac{y'(\alpha)}{R_{b_0} + y(\alpha)}$$

osserviamo che l'angolo di pressione (perché si rimpicciolisce ω) non dipende da quanto sta andando veloce la corone ma solo da geometria geometrica.

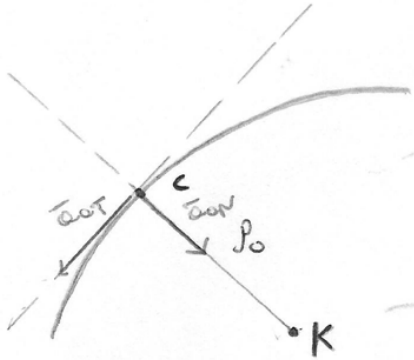
Ogni punto del profilo ha il suo valore di θ in quanto y' e y dipendono da α .

Scelte la legge del moto che vogliamo realizzare e scegliendo il raggio di base R_{b_0} determino la funzione che descrive gli angoli di pressione.

Tanto più grande è il raggio di base R_{b_0} tanto più piccolo sarà θ .

Analiticamente al limite se si avesse raggi di base R_{b_0} tendenti ad infinito avremmo degli angoli di pressione che tendono a zero.

(40)



Il modulo dell'accelerazione assoluta in direzione normale è dato da:

$$|\bar{a}_{on}| = \frac{v_e^2}{\rho_0} \rightarrow \text{velocità assoluta}$$

Quindi una volta noti i parametri di progettazione possiamo calcolare \bar{a}_c . Nota questa determiniamo la sua componente normale $|\bar{a}_{on}|$. Nota la componente normale e la velocità assoluta determiniamo ρ_0

Per ottenere la componente normale \bar{a}_{on} proiettiamo \bar{a}_R, \bar{a}_T ed \bar{a}_c lungo $\bar{c}K$.

Si ottiene:

$$|\bar{a}_{on}| = |\bar{a}_T| \cos \beta - |\bar{a}_R| \cos \alpha + |\bar{a}_c| \sin \beta$$

ricordiamo che:

$$\sin \beta = \frac{|\bar{v}_R|}{|\bar{v}_e|}$$

$$\cos \beta = \frac{|\bar{v}_T|}{|\bar{v}_e|}$$

ostituendo possiamo scrivere:

$$|\bar{a}_{on}| = (a_T - a_R) \frac{|\bar{v}_T|}{|\bar{v}_e|} + a_c \frac{|\bar{v}_R|}{|\bar{v}_e|}$$

quindi:

$$\rho_0 = \frac{v_e^2}{|\bar{a}_{on}|} = \frac{v_e^3}{(a_T - a_R) v_T + a_c v_R}$$

ostituendo i valori delle accelerazioni si ottiene:

$$\rho_0 = \frac{(\omega \sqrt{(R_{b_0} + y)^2 + y'^2})^3}{(\omega^2 (R_{b_0} + y) - y'' \omega^2) \omega (R_{b_0} + y) + 2y' \omega^2 \cdot \omega y'}$$

osserviamo che le ω si semplificano e quindi il raggio di curvatura non dipende dalla velocità di rotazione della camma ma solo da grandezze geometriche.

$$\rho_0 = \frac{[(R_{b_0} + y)^2 + y'^2]^{3/2}}{(R_{b_0} + y) - y''(R_{b_0} + y) + 2y'^2}$$

e come delle presenza di questo nome può avere raggi di curvatura positivi, nulli o negativi.

$$r = r(\alpha) = \sqrt{R_n^2 + (R_{b0} + y)^2 - 2 R_n (R_{b0} + y) \cos \beta}$$

calcoliamo l'angolo centrale φ .
 Consideriamo il triangolo cpo nhe:

$$R_n \sin \beta = r \sin(\varphi - \alpha)$$

quindi:

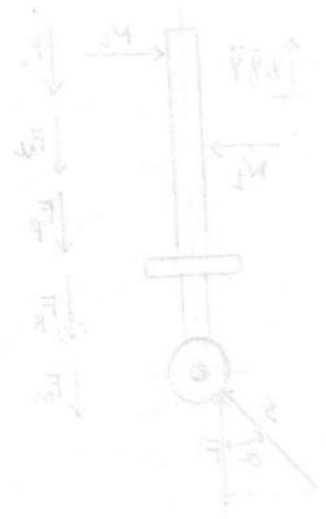
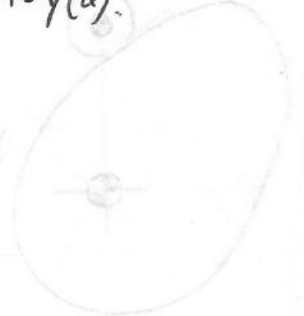
$$\varphi = \varphi(\alpha) = \alpha + \arcsin\left(\frac{R_n}{r} \sin \beta\right)$$

$\beta(\alpha)$ è funzione di α

$r(\alpha)$ è funzione di α

le coordinate polari del profilo effettivo sono $r(\alpha)$ ed $\varphi(\alpha)$

Quindi una volta noti y ed y' possiamo determinare il profilo delle curve e rispondere su esse. I parametri da possono essere ancora cambiati: assumendo il raggio della rotella e il raggio di base \Rightarrow sono gli unici parametri liberi una volta scelto $y(\alpha)$.



Sono forze difficili da definire e porsi e dipendono dal contesto d'impiego e cui il meccanismo è destinato. (42)

$F_p \Rightarrow$ Forze peso

Date dalle leggi $F_p = mg$

Hanno un peso trascurabile rispetto alle altre forze.

$F_A \Rightarrow$ Forze di attrito

Le forze di attrito possono essere abbastanza complesse da descrivere e la loro rappresentazione dipende dal modello matematico scelto per descriverle (l'attrito può essere descritto da un modello viscoso o di attrito radente, ecc.). In termini semplici, il termine delle forze di attrito è dato da:

$$F_A = F_{AK} \cdot \text{segn}(\dot{y})$$

coefficiente costante
segno delle velocità della puntone.

Quindi le forze di attrito assumono un certo valore e sono positive quando spingono verso il basso ($\dot{y} > 0$) e spingono verso l'alto quando $\dot{y} < 0$. Le forze di attrito con tale modello spingono dal basso verso l'alto e sono negative, rispetto al diagramma di corpo libero convenzionalmente usato per rappresentare le forze, quando $\dot{y} < 0$.

$F_m \Rightarrow$ Forze delle molle.

Esse non sono a:

$$F_m = K(y + \delta)$$

deformazione

dove K è la rigidità della molla.

y è la quantità di deformazione che deriva dalla legge del moto imposta dalla commo! \Rightarrow è la legge del moto

$K\delta$ è il precarico.

Seguiamo l'andamento delle forze durante il movimento del meccanismo commo-puntone.

Consideriamo che la commo definisce una legge di oscillazione armonica $y'' + \omega^2 y = 0$ a cui corrisponde un diagramma delle velocità \dot{y} che permetterà di rappresentare un'elica k . Consideriamo un'oscillazione costante e tratti. Vediamo come cambia alle forze precedentemente definite.

Assumendo le forze col segno + se dirette nel senso e forzare il contatto, con un semplice cambiamento delle scale il diagramma \dot{y} rappresenta il diagramma delle forze dirette $m\ddot{y}$ agenti nella puntone. Viene riportato, nelle stesse scale un probabile andamento dei corredi resistenti utili F_u agenti nella puntone in cui si prevede un picco di forze in corrispondenza del raggiungimento dell'elica massima. Viene riportato l'andamento delle forze peso F_p che è costante, e l'andamento delle forze di attrito F_A

Le forze di contatto come-puntate sono date da:

$$F = \underbrace{F_i + F_u + F_p + F_A}_R + F_m = R + F_m.$$

Chiameremo con $R = F_i + F_u + F_p + F_A$; una volta definite le condizioni di progetto le forze che compongono R non vengono più modificate. Lasciamo la forza F_m delle molle su cui potremo agire.

Definite le 4 forze F_i, F_u, F_p ed F_A potremo determinare, sommando per punti, l'andamento della risultante R .

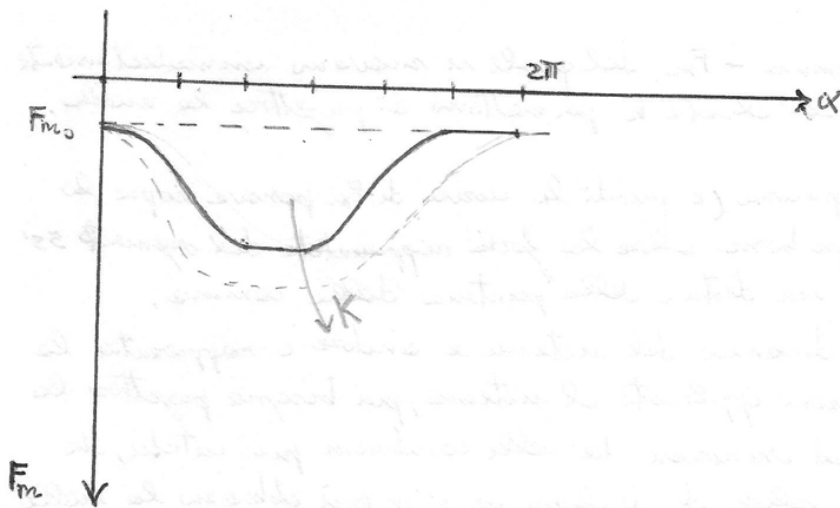
Al variare dell'angolo α la risultante R ha un andamento complesso.

Le forze della molla F_m le disegniamo in un semipiano ribaltando l'asse verticale.

Osserveremo che la forza della molla è data da:

$$F_m = Ky + Ks = Ky + F_{m0}$$

↳ condizione della molla nella situazione iniziale, situazione di precarico.



Il diagramma delle forze della molla ha lo stesso andamento del diagramma di spostamento della puntata y . Quindi è possibile su un piano grafico porre le forze di precarico F_{m0} (facendo traslare le curve verso l'alto o verso il basso) e la rigidità K (che amplifica il diagramma). Tanto più K è grande tanto più si hanno diagrammi grandi, facendo scendere s si ha una pura traslazione del diagramma delle forze della molla.

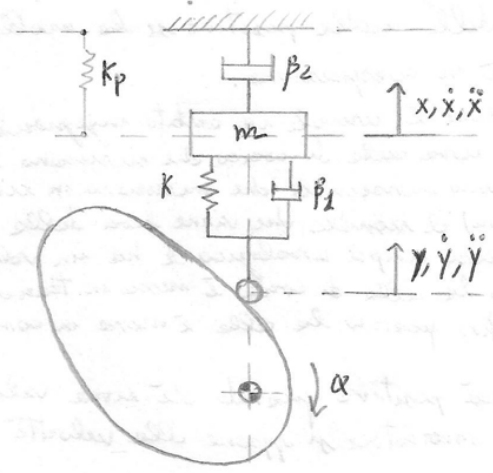
È chiaro che le differenze tra i due diagrammi rappresentano la forza verticale totale $F = R + T$ che si sommano come e puntate.

Per certe ragioni di sicurezza, finito un corso F_{min} minimo ammissibile, occorre fare in modo che sia sempre verificata la relazione $R + F > F_{min}$ durante la fase di movimento. Finito anche il corso F_{m0} nelle fasi di riposo si traccia il diagramma $-y$ cambiando l'origine e la scala in modo che passi per i punti $1'$ e $5'$; letto nelle scale delle

PROBLEMA DELLE VIBRAZIONI

Il problema più importante che si deve affrontare nel progetto di camere destinate a funzionare ad elevate velocità è quello di impedire l'insorgere di vibrazioni intollerabili. Occorre fare riferimento a modelli che consentano di tener conto quantitativamente delle caratteristiche elastiche ed inerziali degli organi che compongono il meccanismo. La definizione del modello coinvolge a fondo l'esperienza del progettante, in quanto il livello di completezza del modello deve essere scelto in funzione della precisione che si desidera per il risultato, la quale a sua volta deve essere commisurata ai limiti di tempo e di costo propri di ogni applicazione. Il criterio normalmente per approssimare il modello è quello di schematizzare gli organi meccanici, che ovviamente sono a parametri distribuiti (masse, elasticità) con elementi a parametri concentrati, come elementi di massa pura di elasticità ed elementi elastici puri di massa. I valori di tali parametri devono essere determinati cercando di mantenere al meglio l'equivalenza dell'energia cinetica ed elastica degli elementi del modello con quelli dei corrispondenti organi del meccanismo. Per tener conto delle dissipazioni di energia si ricorre agli smorzatori. È quindi possibile rappresentare un sistema camera-puntone attraverso un'operazione di modellazione funzionale descrivendolo con un modello a parametri concentrati.

Partendo da tale modello schematico risulta più agevole passare al corrispondente modello matematico costituito da un sistema di eq. differenziale ordinarie. La risoluzione del problema non presenta particolari complessità che vi è messa nelle corrette attuazione dei valori ai parametri che caratterizzano il modello stesso. Tale difficoltà deriva invece dall'incertezza di valore dei parametri del sistema reale ma nelle necessità di non ricorrere a modelli troppo complicati ed anche sensibilmente se si vogliono adottare modelli troppo semplici.



Quindi passare da un disegno CAD fisico ad un modello come quello rappresentato significa fare un'operazione di modellazione funzionale e definire ciò che importa di ciò che non importa, ciò che è significativo e ciò che è trascurabile. Ad esempio K non è la rigidità di una molla esterna collegata alla puntone ma è la rigidità della puntone stessa che sottoposte a delle sollecitazioni si allunga o si accorcia. Quindi:

- K è la rigidità interna della puntone.
- B_1, B_2 è lo smorzamento del materiale con cui è fatta la puntone
- B_2 è uno smorzatore che rappresenta un modo diverso di trattare l'attrito.

Se avessi voluto rappresentare una molla di precisione del sistema alla camera si doveva approssimare una rigidità K_p con estremi variabili da un lato al telaio e dall'altro alla massa traslante.

$$F_i = m \ddot{x}$$

Per ciò che riguarda le forze della molla si hanno due possibilità di mettere delle quasi-una è esatta.

$$F_m = \begin{cases} K(x-y) \Rightarrow \text{Si considera } x < y \text{ in coordinate di punti e indipendente (origine del sistema di riferimento).} \\ K(y-x) \Rightarrow \text{caso fisico} \Rightarrow \text{obbligato.} \end{cases}$$

La molla, così le molla della puzza, è proporzionale a quanto si deforma. La scelta di come definire la deformazione [scegliere $(x-y)$ o $(y-x)$] deve essere coerente col modello che si vuole schematizzare. Le forze F_m , esercitate dalle puzze, sono positive e quindi dirette come nello schema di corpo libero quando si sta allungando e $x > y$. Quindi il modello matematico $F_m = K(x-y)$ genera delle forze positive quando $x > y$, il che è ragionevole. Se prendiamo il modello $F_m = K(y-x)$ quando $x > y$ (cioè quando la molla si allunga) il modello ci dà delle forze negative e si ha un assurdo fisico: una molla che viene allungata sta spingendo. Quindi il modello matematico giusto è:

$$F_m = K(x-y)$$

Per lo smorzatore scriviamo un modello lineare. La forza non è proporzionale attraverso un coefficiente β alla velocità di deformazione $(\dot{x} - \dot{y})$. Quando i due estremi della puzza sono alla stessa velocità lo smorzatore non si deforma.

$$F_{D1} = \beta_1 (\dot{x} - \dot{y})$$

$$F_{D2} = \beta_2 (0 - \dot{x}) = -\beta_2 \dot{x}$$

↓
velocità del telaio.

La forza dello smorzatore è positiva e quindi tira verso il basso quando la puzza si sta allungando, cioè quando $\dot{x} > \dot{y}$. Quando si ha un accorciamento della puzza $\dot{x} < \dot{y}$ si ha una forza negativa. Quando la puzza si accorcia spinge sulle molla.

Scriviamo che $F_{D2} = \beta_2 \dot{x}$ è un assurdo fisico: la forza è positiva quando l'oggetto (molla) sta volando ed il modello descrive uno smorzatore che in fase di compressione sta tirando la molla, cosa che non capita in quanto lo smorzatore è un elemento dissipativo. Quindi si oppone notiamo che i modelli matematici descritti hanno senso se riferiti al disegno di corpo libero (e si riferiscono ad essi) dove definiamo i versi positivi delle forze e dove definiamo i sistemi di riferimento per gli spostamenti.

Scriviamo l'equazione di equilibrio della traslazione

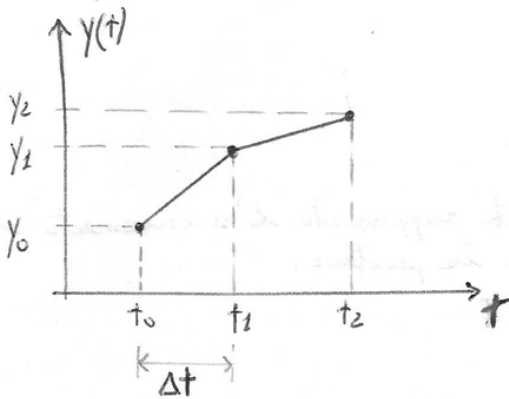
$$\downarrow F_i + F_{D1} + F_m - F_{D2} = 0$$

ostituendo i modelli delle forze considerate:

$$m \ddot{x} + \beta_1 (\dot{x} - \dot{y}) + K(x-y) + \beta_2 \dot{x} = 0$$

Questo è il modello matematico del sistema. Il modello a parametri concentrati è un'eq. differenziale ordinaria del secondo ordine.

Quindi il metodo numerico permette partendo da una funzione iniziale y_0 e consentendo al comando iniziale v_0 , di calcolare la derivata di ordine massimo e quest'ultima mi permette di prevedere quale sia l'uscita y_1 dopo un tempo Δt . (46)



Mi trovo quindi dopo un passo d'integrazione al livello y_1 e riutilizzo la medesima equazione per calcolare y_2 e così via \Rightarrow ricostituisco per punti l'andamento $y(t)$ cioè l'uscita in funzione dell'ingresso.

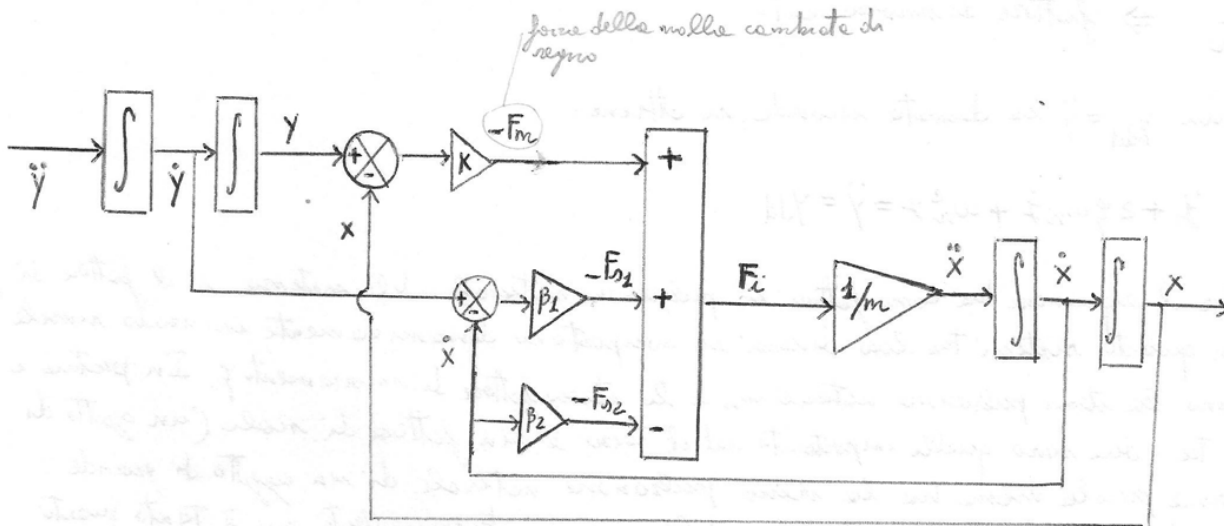
Naturalmente dietro questo ricorso delle leggi d'integrazione implementate da degli algoritmi di calcolo.

Quanto schematizzato è un esempio di ALGORITMO DI EULERO

□
Consideriamo la rappresentazione grafica dell'equazione:

$$\ddot{x} = \frac{1}{m} (\beta_1 (\dot{y} - \dot{x}) - \beta_2 \dot{x} + K(y - x))$$

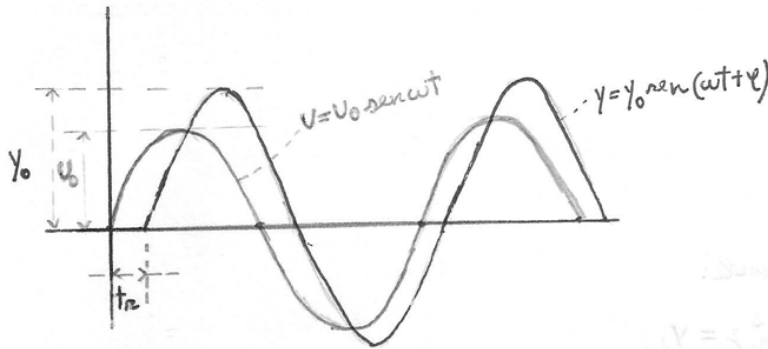
Per impostazione dei sistemi è comune la prima scelta che viene fatta è quella del diagramma delle accelerazioni ed è quindi più facile ed usuale utilizzare come ingresso la legge di accelerazione.



Con questo schema non solo permette di analizzare come evolve la variabile x ma come nel tempo si evolvono anche delle variabili d'integrazione F_m , F_{v1} ed F_{v2} . Quindi si possono visualizzare anche gli andamenti delle variabili intermedie che hanno un preciso significato fisico come la rigidezza della molla o gli andamenti dell'attrito viscoso del materiale. Ciò ci permette di evidenziare ad esempio se un certo pezzo di modello ha significato o meno; ad esempio se abbiamo l'andamento delle tre forze F_m , F_{v1} ed F_{v2} si potrà notare che due di esse

$$y = y_0 \sin(\omega t + \varphi)$$

dove y_0 è l'ampiezza dell'uscita. L'uscita non è in fase di un angolo φ rispetto all'ingresso e tale angolo è legato al tempo di ritardo t_r . In generale l'uscita è sempre in ritardo rispetto all'ingresso.



Oggetto dello studio della risposta in frequenza è quanto vale il rapporto tra le ampiezze in funzione della pulsazione del sistema.

$$A(\omega) = \frac{y_0}{u_0}$$

si vuole capire man mano che varia ω cioè il periodo dell'ingresso (al variare della frequenza il periodo si riduce) cosa succede al rapporto tra le ampiezze e soprattutto quanto vale l'ampiezza dell'uscita.

e quanto vale l'angolo φ al variare di $\omega \Rightarrow \varphi(\omega)$.

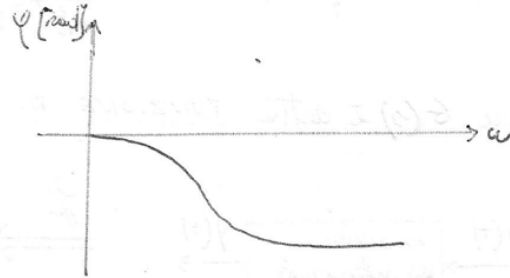
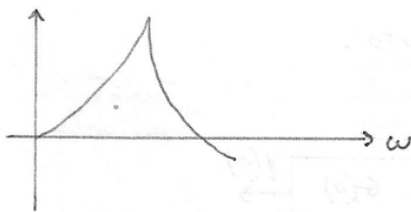
Lo studio viene fatto in regime del sistema.

Il rapporto $A(\omega)$ viene spesso rappresentato non in scala lineare ma in dB:

$$M(\omega) = 20 \log_{10}(A(\omega))$$

Si ottengono andamenti del tipo:

M [dB]



Nel caso del modello in studio:

$$\ddot{z} + 2\varphi\omega_n \dot{z} + \omega_n^2 z = y_{dd}$$

si ha:

ingresso armonico $y_{dd} = y_{dd0} \sin \omega t$

uscita armonica $z = z_0 \sin(\omega t + \varphi)$

Nel nostro caso il rapporto tra le ampiezze sarà:

$$A = \frac{z_0}{y_{dd0}}$$